

Fig.II-4-11 MAPA DE ESTRUCTURA RESISTIVIDAD (100 m DE PROFUNDIDAD)

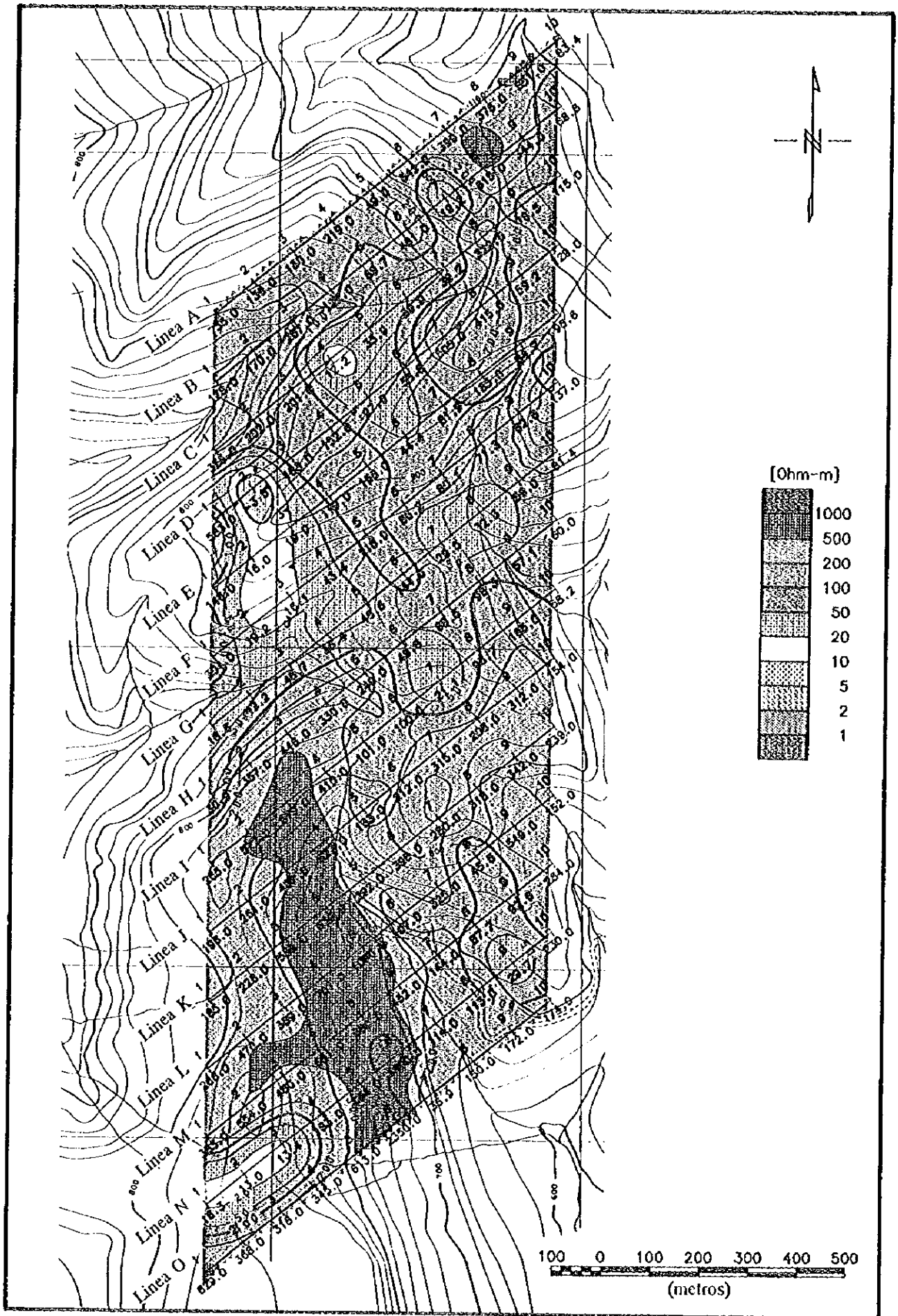


Fig.II-4-11 MAPA DE ESTRUCTURA RESISTIVIDAD (100 m DE PROFUNDIDAD)

0

0

0

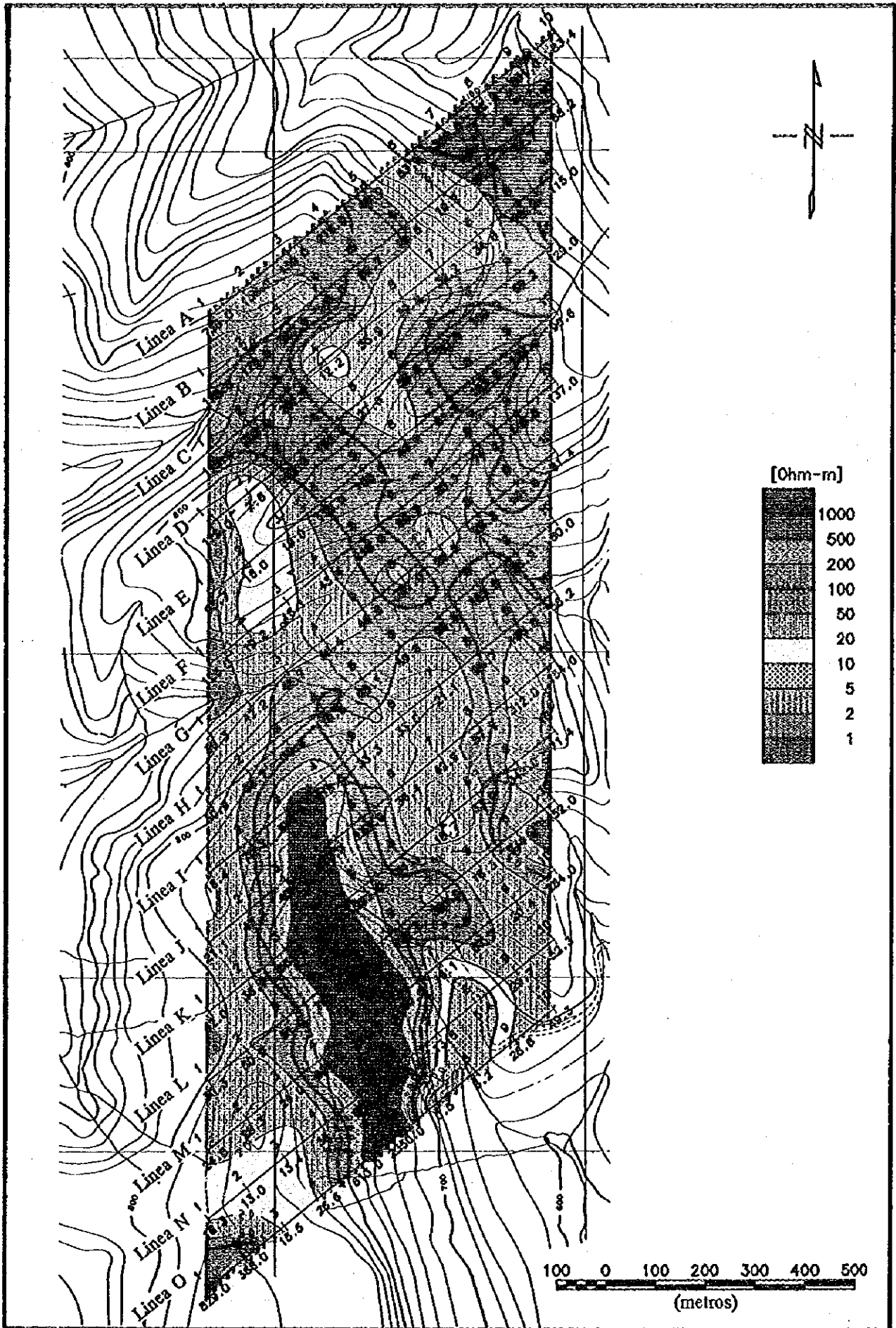


Fig.II-4-12 MAPA DE ESTRUCTURA RESISHIVIDAD (200 m DE PROFUNDIDAD)

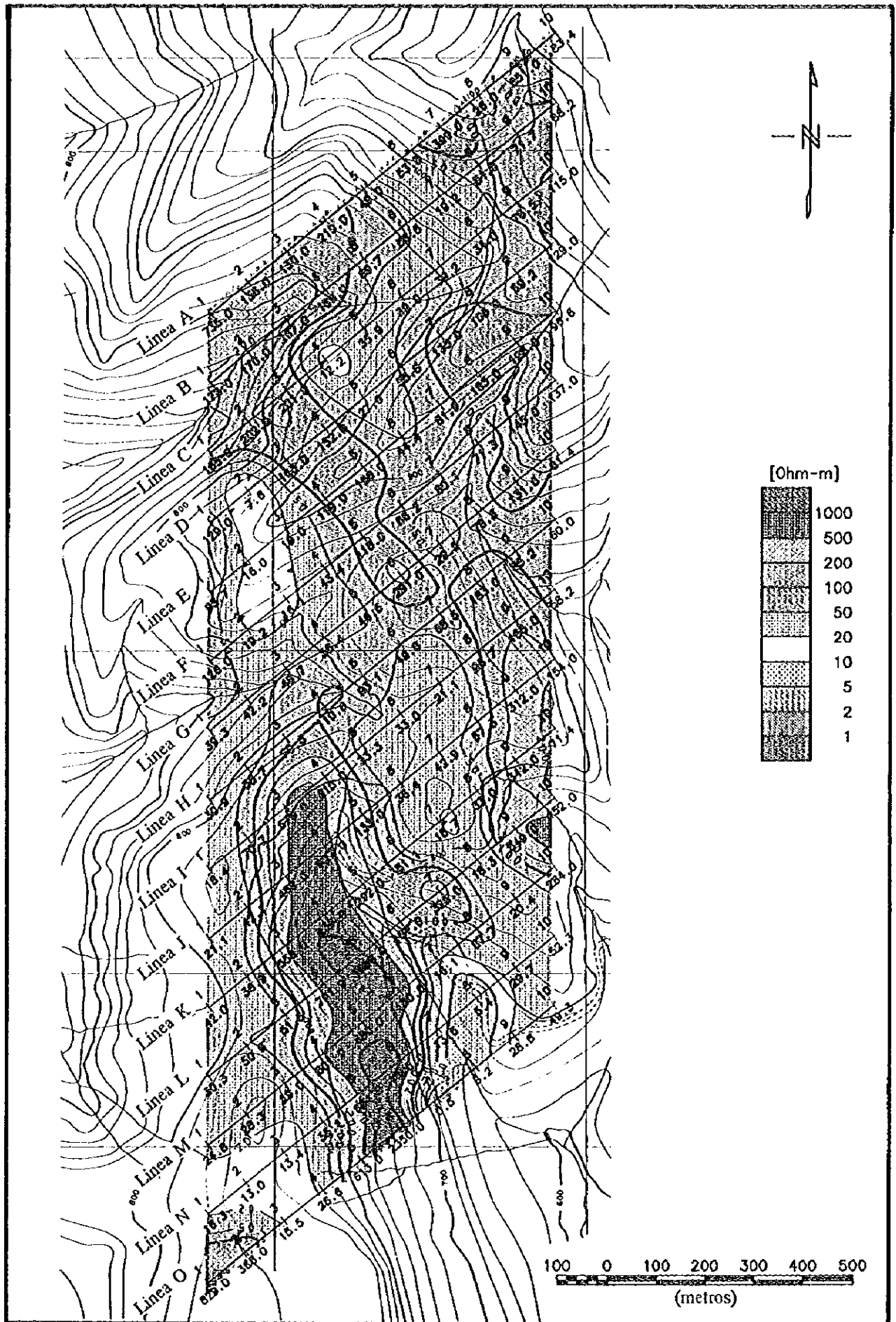


Fig.II-4-12 MAPA DE ESTRUCTURA RESISIVIDAD (200 m DE PROFUNDIDAD)

0

0

0

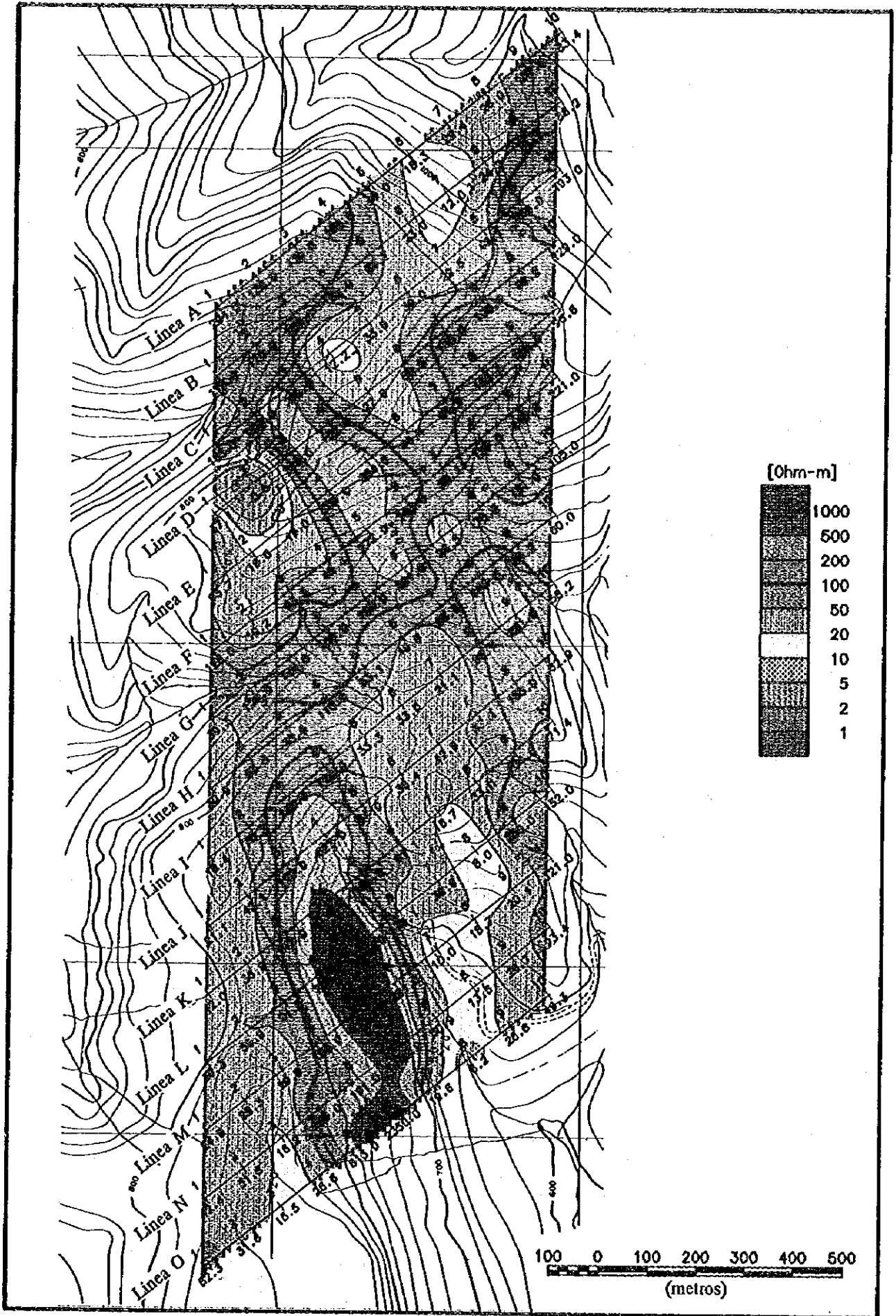


Fig.II-4-13 MAPA DE ESTRUCTURA RESISTIVIDAD (300 m DE PROFUNDIDAD)

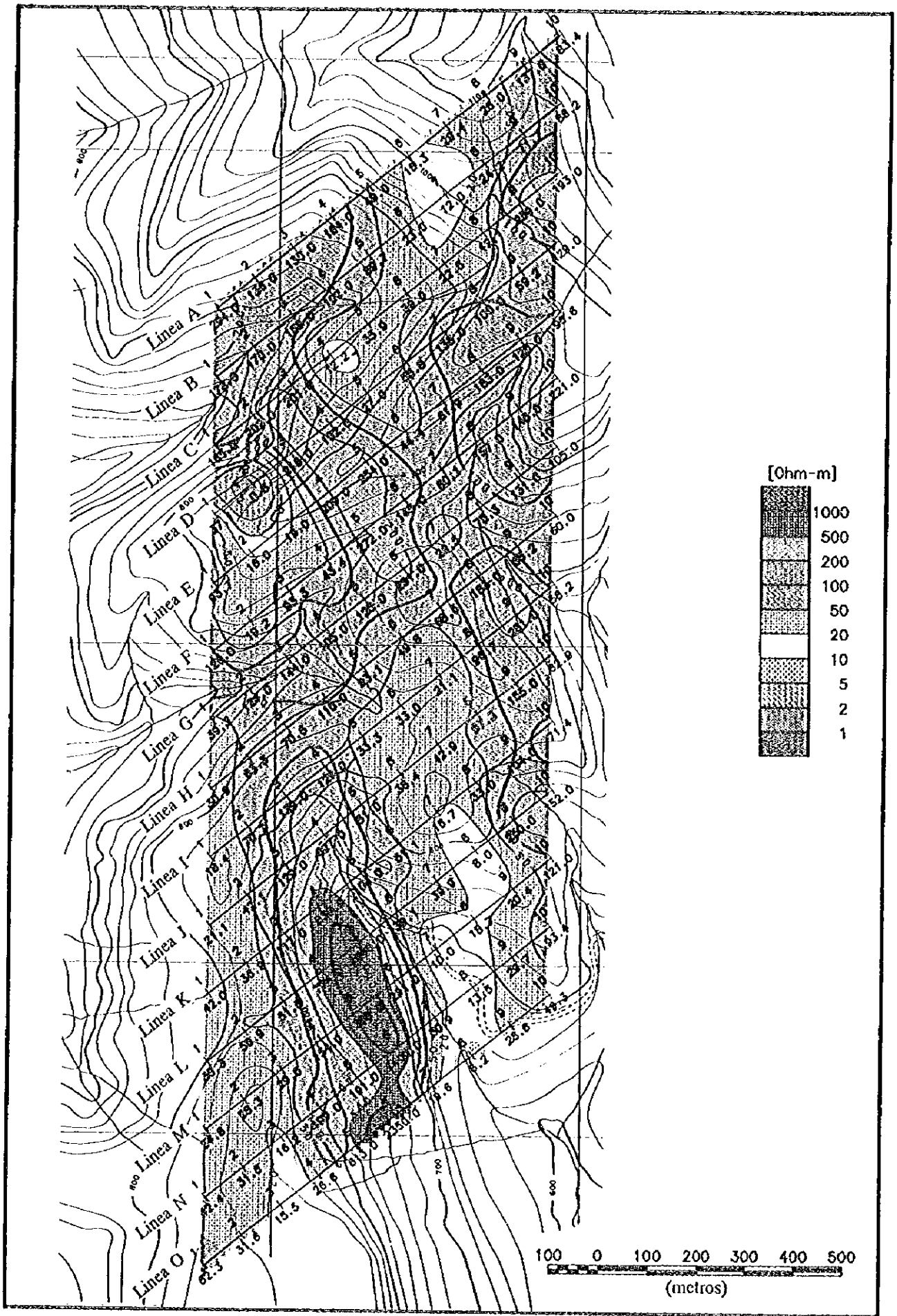


Fig.II-4-13 MAPA DE ESTRUCTURA RESISTIVIDAD (300 m DE PROFUNDIDAD)



0

0

0

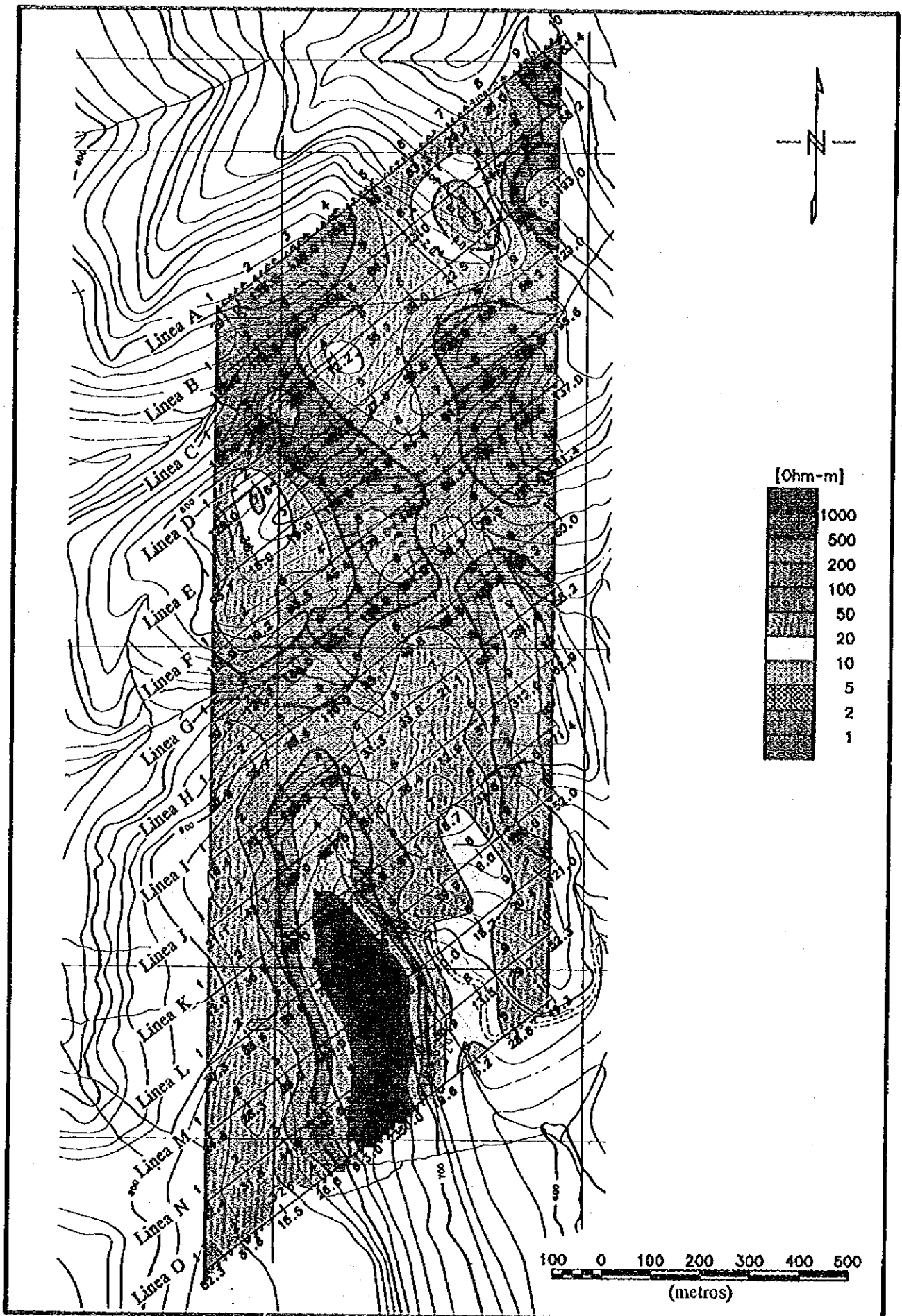


Fig.II-4-14 MAPA DE ESTRUCTURA RESISTIVIDAD (400 m DE PROFUNDIDAD)

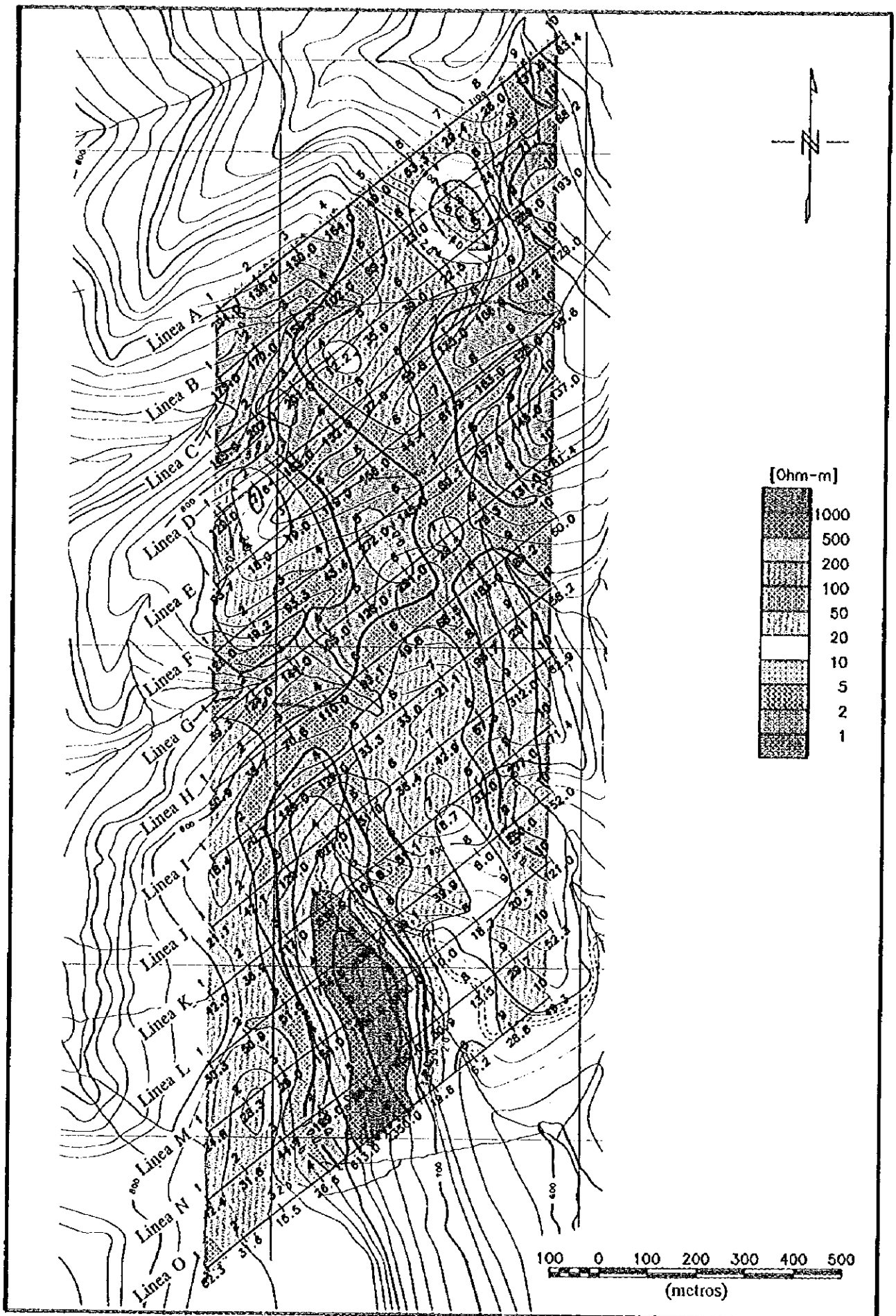


Fig.II-4-14 MAPA DE ESTRUCTURA RESISTIVIDAD (400 m DE PROFUNDIDAD)

0

0

0

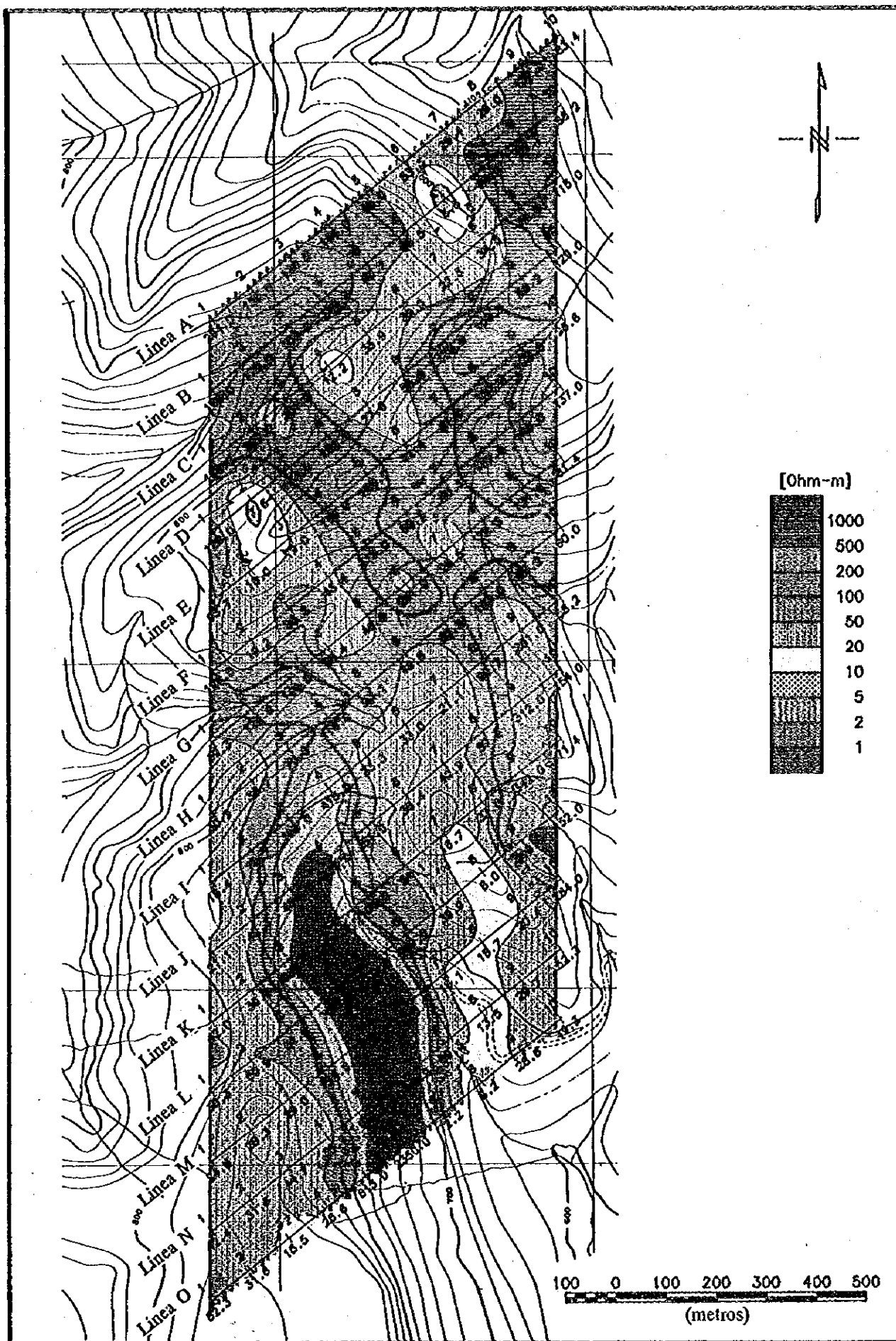


Fig.II-4-15 MAPA DE ESTRUCTURA RESISTIVIDAD (500 m DE PROFUNDIDAD)

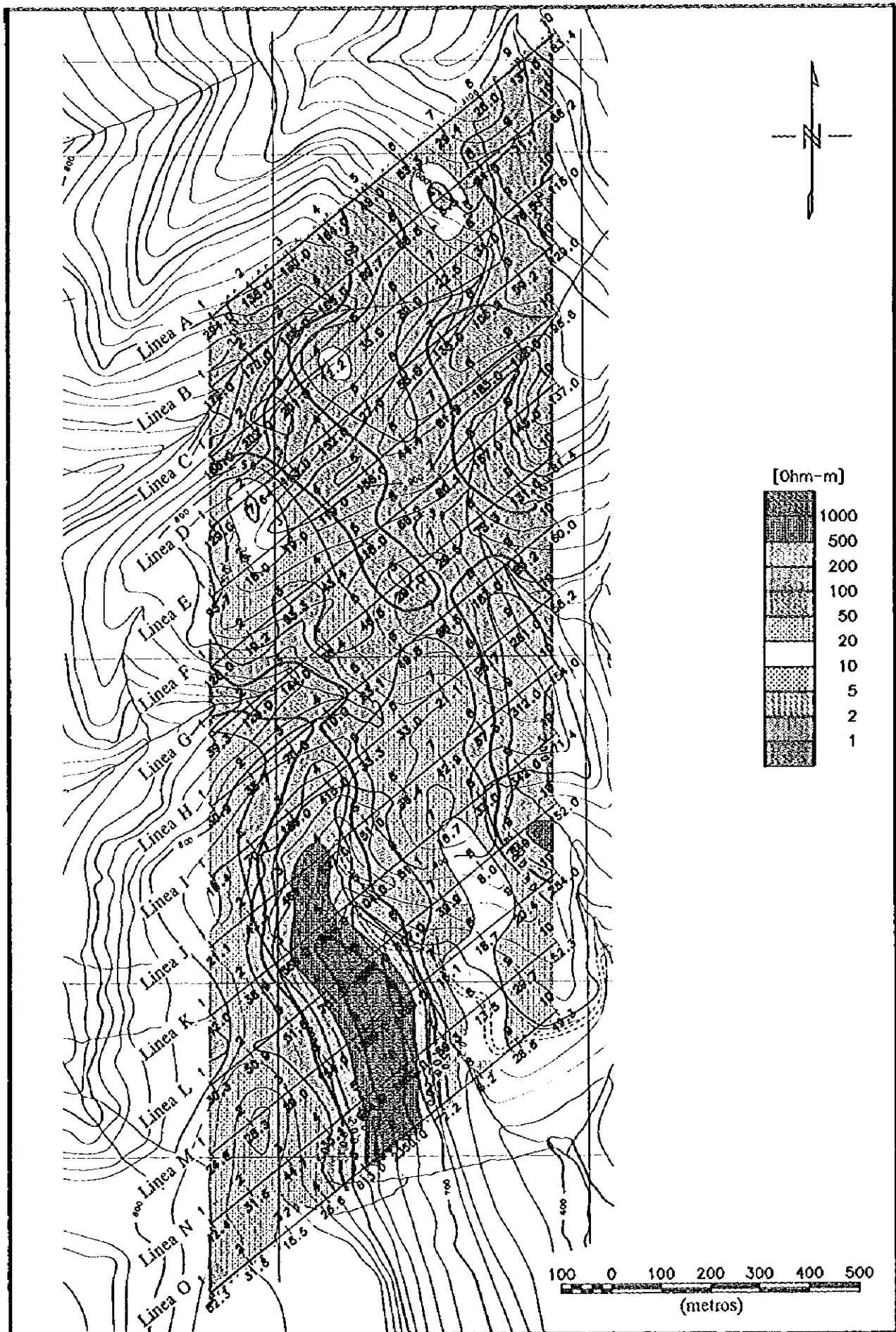


Fig.II-4-15 MAPA DE ESTRUCTURA RESISTIVIDAD (500 m DE PROFUNDIDAD)

0

0

0

estaciones. Las estaciones de la estructura de dos estratos son de 7 puntos.

La estación que se analizó más de cuatro estructuras de estratos contiene la estación que confirma la existencia de alta resistividad en el estrato medio, sin embargo cada resultado del análisis presenta una estructura con un número de resistividad que cambia de alto a bajo.

Generalmente se presenta la estructura de tres estratos con el siguiente resultado;

- Primer Estrato : Estrato de alta resistividad a poca profundidad.  
Resistividad 100 ~ 2,000  $\Omega$ -m, Espesor del estrato +/- 100m
- Segundo Estrato : Estrato de media resistividad en la parte media profunda.  
Resistividad 10 ~ 200  $\Omega$ -m, Espesor del estrato 300 ~ 1,000m
- Tercer Estrato : Estrato de baja resistividad en la parte profunda.  
Resistividad 10  $\Omega$ -m

Al observar generalmente el resultado del análisis de todas las estaciones se menciona lo siguiente.

Que el número de la resistividad del primer estrato ( estrato de alta resistividad a poca profundidad omite lo siguiente: )

Indica un número de 100 ~ 2,000  $\Omega$ -m en casi todas las estaciones se analizó la alta resistividad de más de 100 m. El espesor del primer estrato indica +/- 100 m. sin embargo la estación se localiza en el área de riolita ( roca intrusiva ). Este estrato de alta resistividad continúa hacia una parte profunda subterránea. Al estudiar en detalle el número del primer estrato de la resistividad se clasifica el valor de la resistividad aproximadamente en 100  $\Omega$ -m y 300 ~ 400  $\Omega$ -m y el alta resistividad de 500  $\Omega$ -m. Teniéndose en cuenta el resultado de la exploración geológica y la medición del valor de la resistividad consideramos que la estación que indica el valor de resistividad de más de 500  $\Omega$ -m está correlacionado con una parte difundida de roca potenciándose la silificación principalmente por lo tanto la estación que indica el valor de resistividad comparativamente bajo aproximadamente de 100  $\Omega$ -m que está presente principalmente en la parte SW del área de la exploración, el valor demuestra que la resistividad alrededor es de 60 ~ 130  $\Omega$ -m. El resultado de la medición de la muestra de roca y de la resistividad nos indica un número bajo de 60 ~ 130  $\Omega$ -m, comparándose con otra muestra se hizo la conjetura que está indicando la distribución de la roca que presenta la alteración de la algrización etc. y la resistividad baja de la roca original. La estación en el área difundida de piritita y metariolita.

Segundo Estrato ( Estrato de media resistividad a media profundidad nos omite lo siguiente:)

Al analizar el valor resistividad fue aproximadamente de 10 ~ 200  $\Omega$ -m y se consideró que el estrato de baja resistividad junto con la riolita ( roca intrusiva ) presentan la influencia del área de alteración de la algrización etc..

La causa por la que se analizó notablemente el primer estrato de la alta resistividad es por considerar la disminución del contenido de agua en la parte de la superficie del estrato y la distribución del componente eléctrico en la erosión.



Además el segundo y tercer estrato ( estrato de alta resistividad en la parte profunda nos omite lo siguiente: )

En su totalidad se analizaron y son de baja resistividad al compararlos con el primer estrato, y la causa es incierta, sin embargo se puede hacer la conjetura siguiente:

- Que esa causa de la influencia de la zona fracturada.
- Que esa causa de la inclinación de la densidad de la sal en el estrato.
- El numero de la resistividad se refleja en el estrato inferior del horizonte de Ixcatepec en el área de esa exploración.

Se observa lo siguiente en relación al numero de la resistividad de la clase de rocas difundidas en el área de esta exploración. Se confirmo la diferencia del valor de resistividad entre la riolita ( roca intrusiva ) y otra clase de roca. En la parte SE esta difundida de riolita en el área de esta exploración ( línea J ~ O ) y el valor de la resistividad indica mas de 500  $\Omega$ -m y algunos de estos también indican mas de 2,000  $\Omega$ -m, como ya antes se menciona se considera que es debido a la influencia del alteración de la silificación por lo tanto el numero de la resistividad de filita y metariolita tampoco se confirma la diferencia entre el primer y segundo estrato. Debido al resultado del análisis de la una dimensión se confirma la discontinuidad de la estructura de resistividad entre las estaciones y se menciona que geofísicamente el área de esta exploración no es simple, así como la estructura geológica. Lo cual nos explica el área de baja resistividad correspondiente a la alta resistividad de filita y la alteración de la algrización en la sección de la estructura de la resistividad de cada estación.

Y también nos explica la observación que la zona de baja resistividad correspondiente a la alta resistividad y filita en la alteración de la algrización en la sección de la estructura de la resistividad en cada estación.

#### (I) Línea A

En todas las estaciones el primer estrato indica alta resistividad de mas de 300  $\Omega$ -m, como ya antes se menciona, y esto se considera que es por la diferencia del grado de la silificación.

De la estación a 1 ~ 4 y de 9 ~ 10 nos indica una estructura similar. El espesor del segundo extracto es de mas de 1000 m y la resistividad es de 83.4 ~ 294.0  $\Omega$ -m. En el tercer estrato se analizaron de 17.0 ~ 96.2  $\Omega$ -m y se correlaciona con la geología este espacio de la estación con metariolita y filita.

De la estación 6 ~ 8 tiene una diferente estructura que la estación ya mencionada. El segundo estrato indica un numero bajo de 26.0 ~ 53.3  $\Omega$ -m y el espesor de este estrato es aproximadamente de 400m. El tercer estrato se disminuye mas y es de 0.3 ~ 14.8  $\Omega$ -m. En correlación con la geología se compara con metariolita y filita, este estrato de la estación se presenta una estructura de pliega y tiene una estructura geológica complicada.

En la zona de baja resistividad del tercer estrato presenta un tipo arco desde la cumbre de la

estación 7, 8.

### **(2) Línea B**

La estructura es similar a la línea A, el primer extracto analiza una alta resistividad de más de 200  $\Omega$ -m. En la estación 2 el primer estrato no confirma alta resistividad y esto se considera que depende a la localización esta estación justo alrededor de la falla de NNE ~ SSW. Se presenta la tendencia de la profundidad del tercer estrato de cada estación este profunda.

### **(3) Línea C**

En la estación del lado oriente-E de la línea el segundo estrato indica alta resistividad y esto nos indica la misma tendencia de las dos líneas que ya se explicaron antes, sin embargo en la estación 2 y 3 continúa la alta resistividad hasta la parte profunda y continúa hasta la línea D-3 y la línea E-4-5.

Estos como ya se explicaron con en la columna del plano de la estructura de la resistividad y se considera que indican la existencia de roca intrusiva etc, en la parte profunda de las estaciones.

Además la estación 4 se localiza alrededor y se analizó un estrato de baja resistividad ( 12.2  $\Omega$ -m ), y desde la parte de poca profundidad del subterráneo, ( de 75m hacia abajo de la superficie), también se considera que es por la influencia de alteración de roca intrusiva mencionada anteriormente.

En la estación 9 el estrato de alta resistividad se analiza en la parte profunda ( a mayor profundidad de 365m hacia de profundidad ).

Sin embargo se considera que esto refleja caliza que es hastial de techo del horizonte del yacimiento.

En la línea A, B existe el estrato de alta resistividad de Toba, y comparándose con la estación del lado E en la parte profunda de la estación 9 y 10 se considera que es por la posibilidad que refleja el número de resistividad del Hastial del techo del yacimiento.

### **(4) Línea D**

En la parte profunda ( a más profundidad de 413m. de profundidad ) existe el estrato de alta resistividad a causa del análisis del estrato de baja resistividad a más profundida de 100m. bajo la superficie que se localiza alrededor de la estación se considera que este estrato de baja resistividad también tiene la influencia de la zona alterada de la algrización.

### **(5) Línea E**

De la estación 2 ~ 5 se analice la estructura en el que se confina el estrato de alta resistividad presente en la línea D y con el estrato de baja resistividad.

**(6) Línea F**

Alrededor de la estación 5 se confirmó el afloramiento de riolita (roca intrusiva) y la continuidad en la parte profunda del estrato de alta resistividad en la estación lo que atestiguar esta existencia.

El estrato de alta resistividad de más de 200  $\Omega$ -m en la parte profunda ( más profundo de 440m de profundidad ) de la estación 10, por lo que se considera que es por la influencia de la caliza que se continúa el alojamiento alrededor de la estación 8.

En la parte profunda a más de 50 m. bajo la superficie de la estación 2 y 3 se presenta el estrato de baja resistividad de la 16.1 ~ 19.2  $\Omega$ -m y en esta parte inferior también continúa el estrato de baja resistividad de menos de 33  $\Omega$ -m. Este estrato de baja resistividad continúa desde la línea D-2 ~ 3.

**(7) Línea G**

En la estación o el estrato de alta resistividad refleja riolita ( roca intrusiva ) continúa hasta la parte profunda. En la estación 9 ~ 10 presenta el estrato de alta resistividad relativa refleja caliza del hastial de techo del horizonte del yacimiento.

**(8) Línea H**

En la parte profunda a más de 100 m bajo la superficie la estación 8, comparativamente con la que está alrededor presenta un estrato de alta resistividad de 183  $\Omega$ -m correspondiendo a la distribución de riolita ( roca intrusiva ) e indica un número bajo al compararse con el número de la resistividad la comparación de esta roca en la línea que ya se mencionó anteriormente se hace la conjetura que este corresponde al área difundida de la alteración silificada suave ya que esta es la razón de que el número de resistividad del estrato de la superficie indica un número de baja resistividad aproximadamente de 200  $\Omega$ -m comparándose con otro.

**(9) Línea I**

El número de la resistividad del primer estrato de la línea SW, indica un número bajo de 100.0 ~ 129.0  $\Omega$ -m al compararse con otra estación. se considera que esto es posiblemente por la influencia de coherencia del agua alrededor de la superficie de esta área, considerando las líneas a erupción de esta línea y la topografía etc. Este espacio en la estación corresponde al área difundida de filita y por esta razón la profundidad de dilución de esta roca se conjetura que es aproximadamente a 800 m desde la superficie y en esta parte inferior se considera que esta distribución del estrato de baja resistividad debido a la misma causa mencionada anteriormente.

En el primer estrato de la estación de 2 ~ 5 se difunde a la profundidad de 190 ~ 380m. el estrato de alta resistividad se considera que tiene la influencia de riolita ( roca intrusiva ). En la estación 9 también se analizó hasta los 10 m el estrato de alta resistividad que tiene la influencia de la misma roca.

#### (10) Línea J

En la estación 3, 4 y 9 continua el estrato de alta resistividad de mas de 300  $\Omega$ -m e indica riolita ( roca intrusiva ). En la otra estación al igual que en la línea I estrato aproximado de unos 10  $\Omega$ -m continua hasta la parte profunda con un espesor aproximado de 800 m. En esta parte inferior se difunde el estrato de baja resistividad de unos  $\Omega$ -m a unos 10  $\Omega$ -m como en el tercer estrato.

#### (11) Línea K

En esta línea exacta sobre el cuerpo Tehuchuetla se localiza la estación mediacentre la estación 4 y 5. En la estación 3 y 4 se continua desde la superficie hasta 570 m. El estrato de alta resistividad que continua la influencia de riolita ( roca intrusiva ).

El primer estrato de la estación 5 que esta alrededor de este cuerpo se encontró una alta resistividad de 292  $\Omega$ -m, y no se analizo el estrato de baja resistividad debido al yacimiento y la zona alterada de la algirización que acompaña al yacimiento.

A la profundidad aproximada de 700 m bajo la superficie de la estación 1 y 2 se analizo el estrato de alta resistividad aproximada de 200  $\Omega$ -m.

#### (12) Línea L

Debido a la exploración geológica se confirmo la distribución de riolita ( roca intrusiva ) alrededor de la estación 4 y se analizo el estrato de alta resistividad que tiene la influencia de esta roca en la parte baja de la misma estación, sin embargo también en la estación 5 se analizo el estrato de alta resistividad de 1090  $\Omega$ -m en el segundo estrato por esto se considera que esta roca tiene la tendencia de ampliarse hacia el lado oriente en la parte subterráneo.

#### (13) Línea M

Debido a la exploración geológica alrededor de la estación 3 - 6 se confirmo la distribución de riolita ( roca intrusiva ) y también debido al resultado del análisis de la una dimensión se menciona el cambio de intrusión principal esta exactamente abajo de la estación 5 y 6.

Además en la estación 4 se analizo el estrato considerado la zona Cizalla a mas profundidad de 230 m.

El estrato de baja resistividad correspondiente al tercer estrato ( 9.8 ~ 20.4  $\Omega$ -m ) indica la tendencia de que a esta profundidad de la distribución esta a poca profundidad desde la cumbre de la estación 2 y 9 comparándose esto del lado N de esta estación. Esta profundidad es de 160m. de profundidad en la estación 7.

#### (14) Línea N

En la estación 6 se presenta el estrato ( espesor del estrato aproximadamente es de 500 m ), y

se analizó un estrato de alta resistividad de  $1400 \Omega \cdot m$  a una profundidad aproximadamente de 70 m bajo la superficie por lo que el resultado de la medición del número de la roca también nos indica que el número de alta resistividad considerando que por esto es notable la influencia de la silificación.

La profundidad aproximada de 120 m de la superficie de la estación 7, al oriente presenta el estrato ( el espesor del estrato aproximadamente es de 130 m ), el estrato de baja resistividad ( número de resistividad  $5.4 \Omega \cdot m$ , y el espesor del estrato aproximadamente de 90 m ) y continua hacia la siguiente estación 8.

### (15) Línea O

En la estación 6 continua hasta la parte profunda del estrato de alta resistividad hasta los  $2,350 \Omega \cdot m$  y se considera que presenta la silificación. La estación siguiente 7 al compararse con el área difundida de filita. Y se analizó un estrato de baja resistividad de  $0.5 \Omega \cdot m$  ( espesor del estrato aproximadamente 70 m ) a una profundidad de 190 m de profundidad.

### 3. Análisis de La Estructura de Dos Dimensiones

Se efectuó el análisis de la estructura de dos dimensiones por el método CSAMT sobre la línea A, B, C, F, J, K, L.

Se hizo utilizando la sección de la resistividad del análisis de una dimensión por modelo de primer tiempo, de acuerdo al método del elemento limitado se efectuó el cálculo que se corrigió y repitió el área difundida del modelo de la resistividad y el número de la resistividad, como la sección de la resistividad aparente que logro calcular el número de la a la sección.

13 frecuencia los en cada estación cercana a la sección de la resistividad que logro el número de la observación. En caso de la onda de la fuente del método limitado, suponiendo que la estructura de dos dimensiones.

Cambie el lugar en la dirección del recorrido, la ecuación de Maxwell se separan endose : Modo TM y Modo TE. El cálculo del modelo de dos dimensiones de esta exploración es Modo TM por el motivo de medir el potencial de electrodo en la dirección de la línea. Se indica la sección de la estructura de la resistividad de dos dimensiones en la Fig. II-4-31.

### (1) Sección A

Entre la estación 3 y 4 se presenta la línea discontinuada de la estructura de la resistividad, sin embargo se confirma la falla en este lugar. La estación 1 y 2 indica alta resistividad de  $500 \Omega \cdot m$  desde la superficie hasta 600 m del nivel del mar, en la parte inferior d aquí se continua el estrato de la resistividad en aproximadamente  $100 \Omega \cdot m$  hasta la parte profunda. Sin embargo en la estación 3, el estrato de alta resistividad de la parte poco profunda. La estructura de la resistividad entre la estación 4 ~ 10 indico que el estrato de la resistividad es de  $100 \Omega \cdot m$ , indica la estructura del tipo

domo de la cumbre de la estación 8. De acuerdo a la sección geológica, en el eje del anticlinal del punto medio entre la estación 8 y 9, también se observa la estructura que presume el valle de synclinal entre la estación 5 y 6 el área difunda de filita y riolita alterada que se correlación con el estrato superior del horizonte de la formación Ixcatepec, indica el estrato de la resistividad de 100  $\Omega$ -m la parte difundida de la filita se correlaciona con el estrato inferior de este horizonte( horizonte mineralizado ).

#### (2) Sección B

La línea discontinuada de la resistividad que se regulo en la falla como se presento en la línea línea A se presenta en la estación 4 y 5 la estación 6 y 7. La estructura de la resistividad en la lado del oriente de la línea, el estrato de la resistividad es 100  $\Omega$ -m igual que la línea A indica la estructura del tipo dome con la cumbre de la estación 7. En la estación 1 ~ 4 del lado del oriente de la línea se difundo el estrato inferior del horizonte Ixcatepec del lado del oriente de la línea se difundo el estrato de la resistividad de 100  $\Omega$ -m a mar profundidad de 250 m al nivel del mar.

#### (3) Sección C

En la estación 2 y 3 se difunde el estrato de alta resistividad de 500  $\Omega$ -m desde la superficie hasta la profundidad de 230 m al nivel del mar, se considera también la posibilidad de que refleje la influencia de la roca intrusiva de la parte profunda. En la estación 9 y 10 también se difunde el estrato superior ( hastial de techo del horizonte mineralizado ) del horizonte Ixcatepec. En la estación 4 ~ 8 se difunde la resistividad de 100  $\Omega$ -m continuándose en el primer estrato ( numero de la resistividad 300  $\Omega$ -m ) hasta la parte profunda.

#### (4) Sección F

En la superficie de estación 1 y 2 se difunde el estrato de alta resistividad de 400  $\Omega$ -m. En la estación 2 ~ 4 se difunda el estrato de 100  $\Omega$ -m a has profundidad de 50 m de la superficie hasta la parte profunda, sobre la estación 6 ~ 10 se difunde el estrato de 100  $\Omega$ -m en la esfera del espesor de 60 ~ 300 m a mas profundidad de 100 m abajo de la superficie. Esta línea se localiza sobre la falla, entre mas va al oriente de la línea, se separa desde la falla, por la razón de que el espesor del estrato de baja resistividad también se presenta delgado, se considera que la distribución del estrato de la resistividad depende de la influencia de la zona fracturads debido a la falla. En la estación 5 el estrato de la resistividad de 200 ~ 300  $\Omega$ -m, en esta parte inferior se difunde el estrato de baja resistividad de 100  $\Omega$ -m. En la estación 6 este estrato de bajo resistividad se localiza a la profundidad de 240 m abajo de superficie.

#### (5) Sección J

En la estación 2 ~ 4 y 9 se difunde el estrato de alta resistividad de 500  $\Omega$ -m que se considera es debido a la riolita( roca intrusiva ) y su silicificación hasta parte profunda. En otra estación la parte de la superficie se difunde el estrato de la resistividad de 300  $\Omega$ -m en esa parte inferior se difunde el estrato de baja resistividad de 100  $\Omega$ -m .

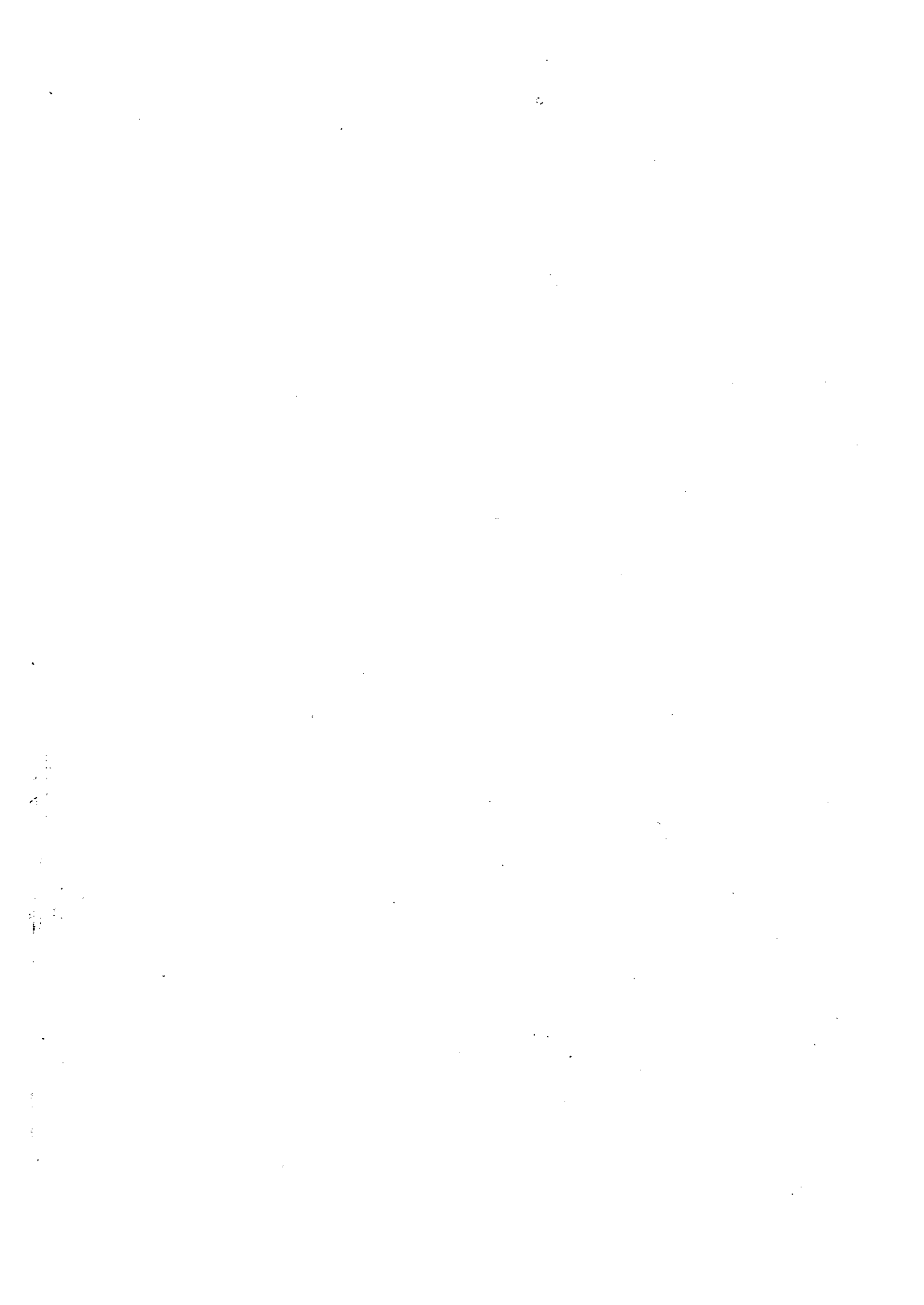
En la estación 6 este estrato de baja resistividad se localiza a la profundidad de 240 m de profundidad.

#### (6) Sección K

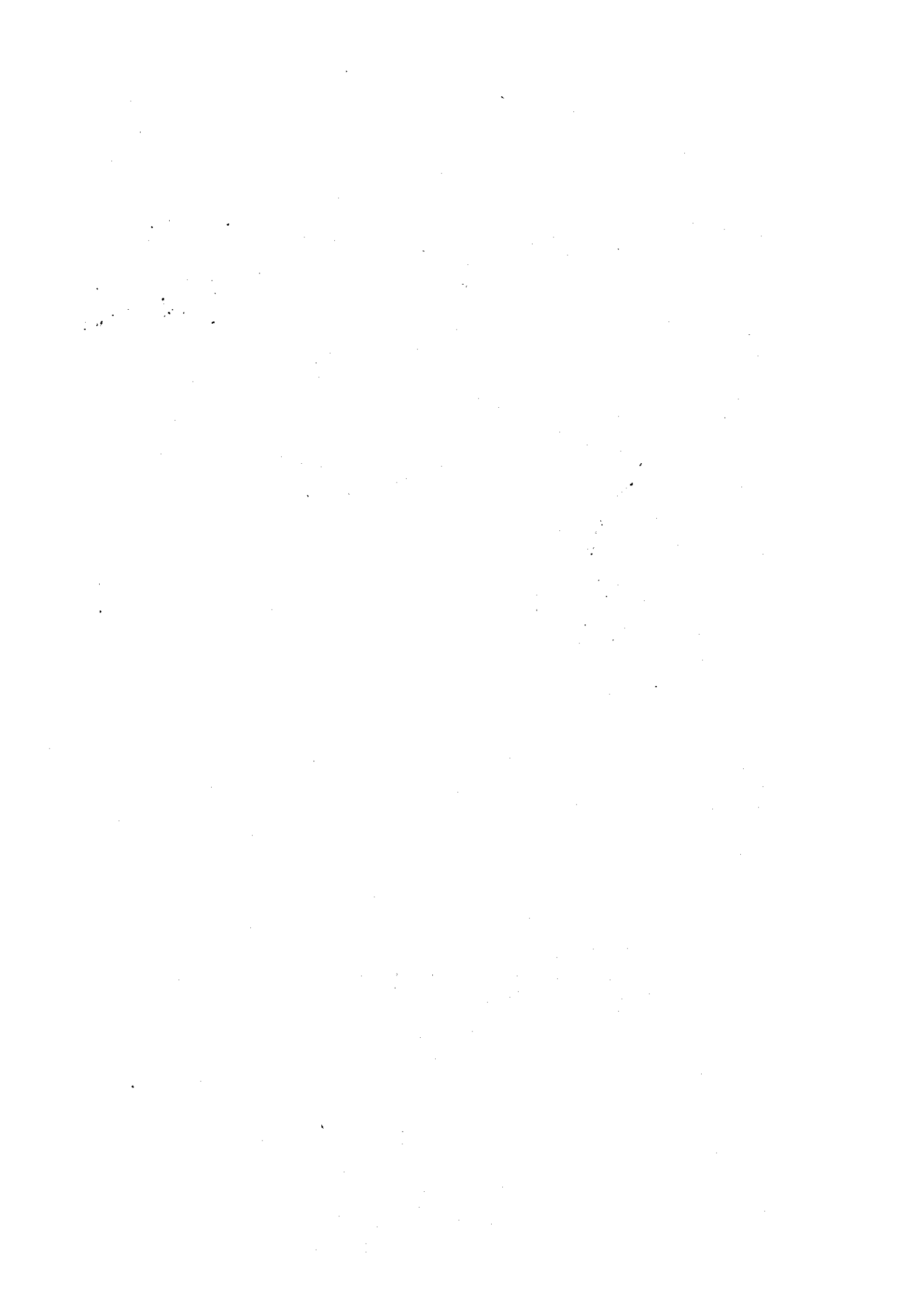
Alrededor de la superficie de la estación 4 y 5 que se localiza alrededor del yacimiento Tehuchuetla se correlaciona con el estrato de alta resistividad de mas de 600  $\Omega$ -m. También se presenta la tendencia de que el estrato de alta resistividad de 500  $\Omega$ -m continua hacia la parte profunda con rumbo a la estación 2. Se considera que estas altas resistividades dependen de la riolita ( roca intrusiva ) y la silicificación que acompaña a esto. Sin embargo en la estación de alrededor se difunda igual mente el posibilidad de que mineralización se limita alrededor de la roca intrusiva.

#### (7) Sección L

Sobre la estación 1 ~ 5 se difunde el estrato de alta resistividad de mas de 500  $\Omega$ -m desde alrededor de la superficie hasta la parte profunda. Especialmente en la parte de la superficie de la 1,000  $\Omega$ -m en la esfera del espesor de 80 ~ 180 m. Comparando se el área difunda de la riolita ( roca intrusiva ) que se obtuvo debido a la exploración geología, se difunde ampliamente el estrato de alta resistividad.







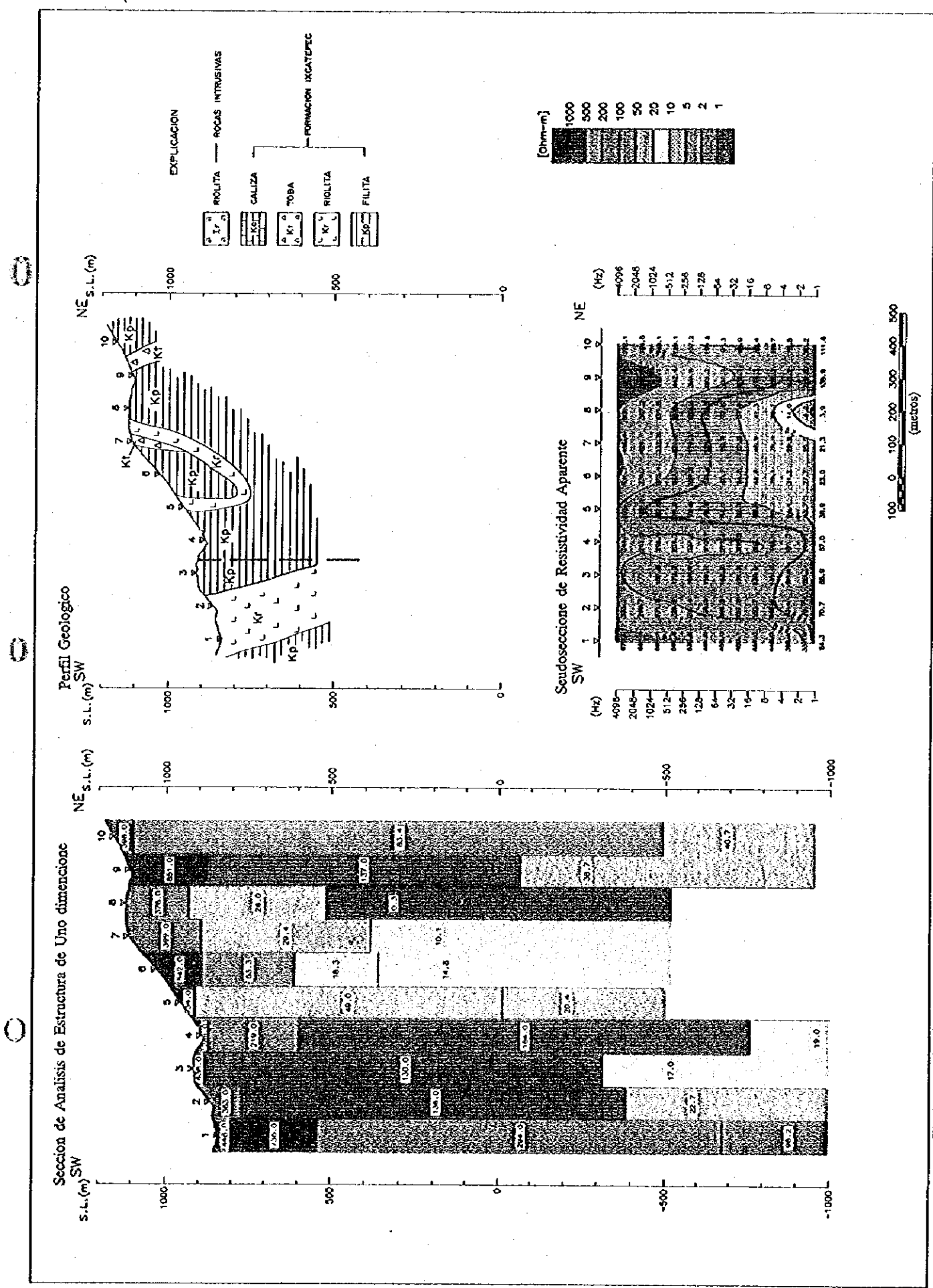


Fig.U-4-16 SECCION DE ESTRUCTURA RESISTIVIDAD (LINEA A)

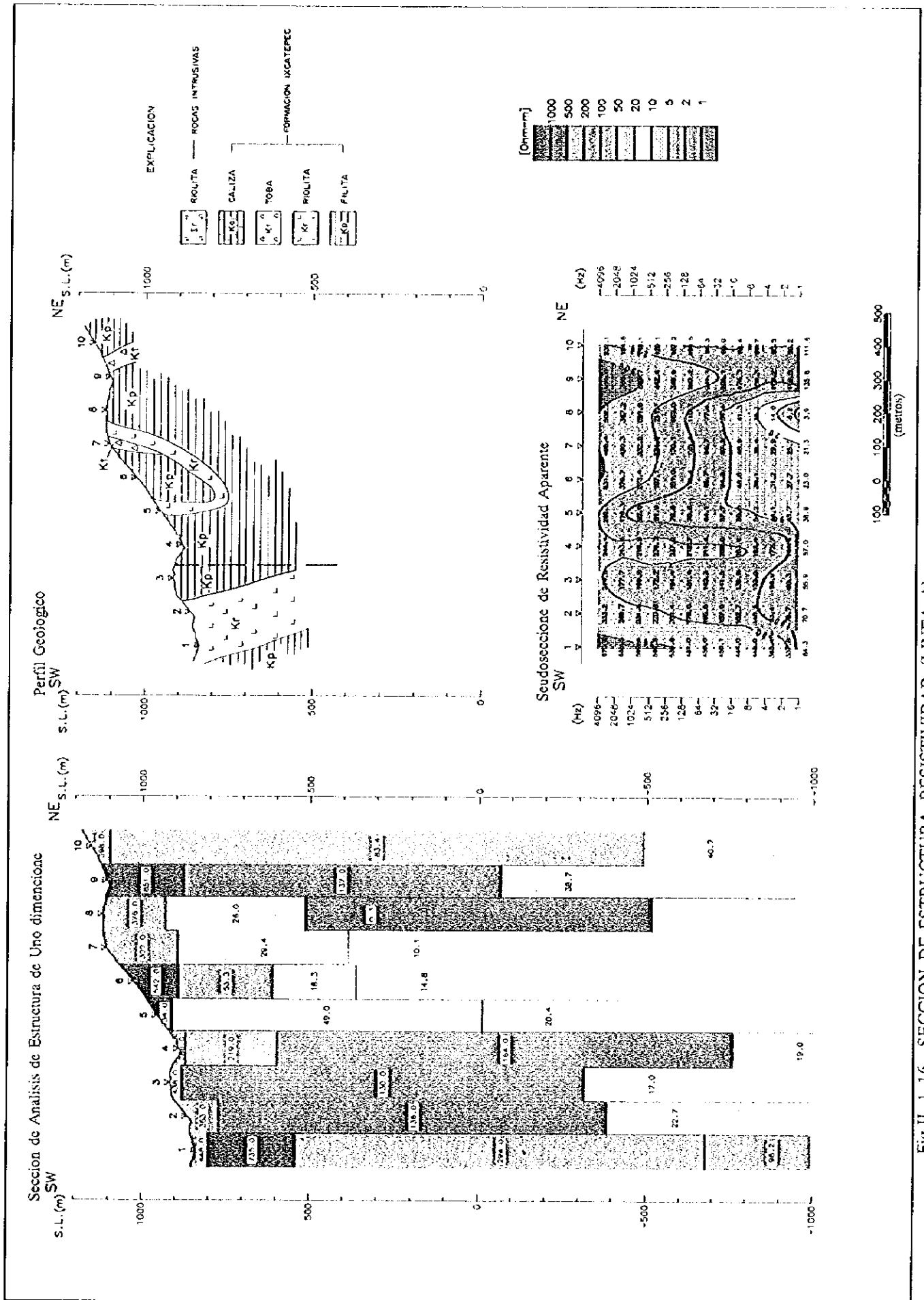


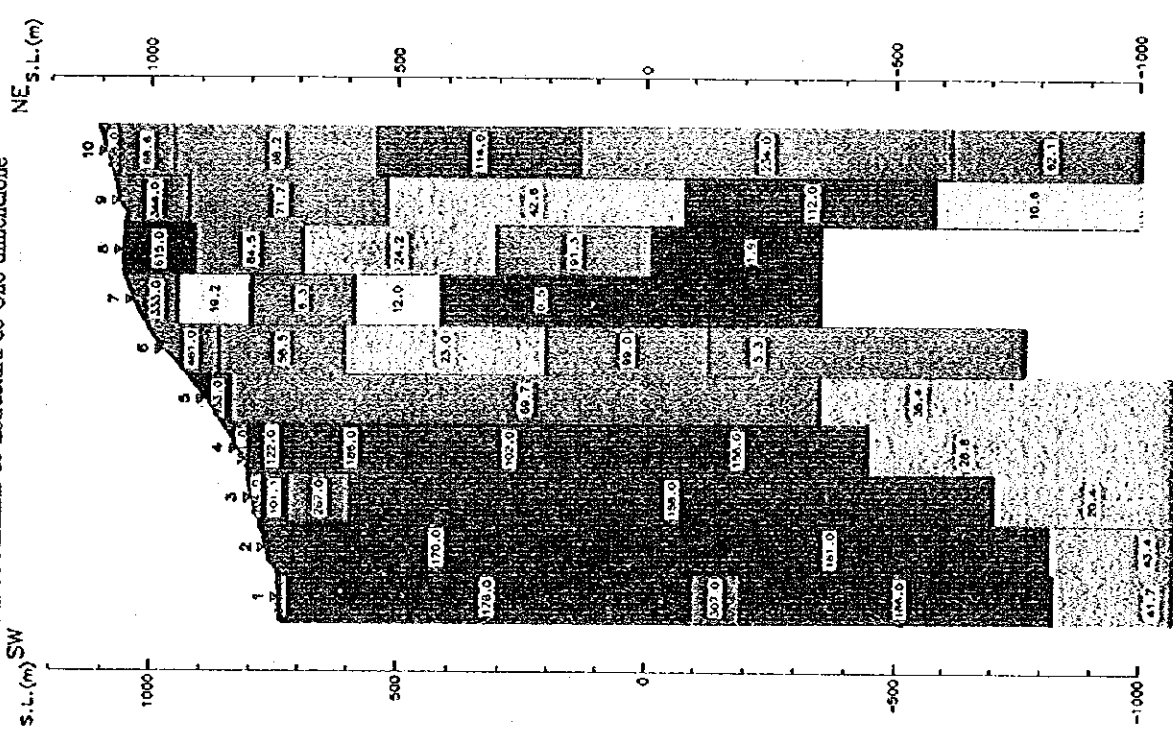
Fig.II-1-16 SECCION DE ESTRUCTURA RESISTIVIDAD (LINEA A)

0

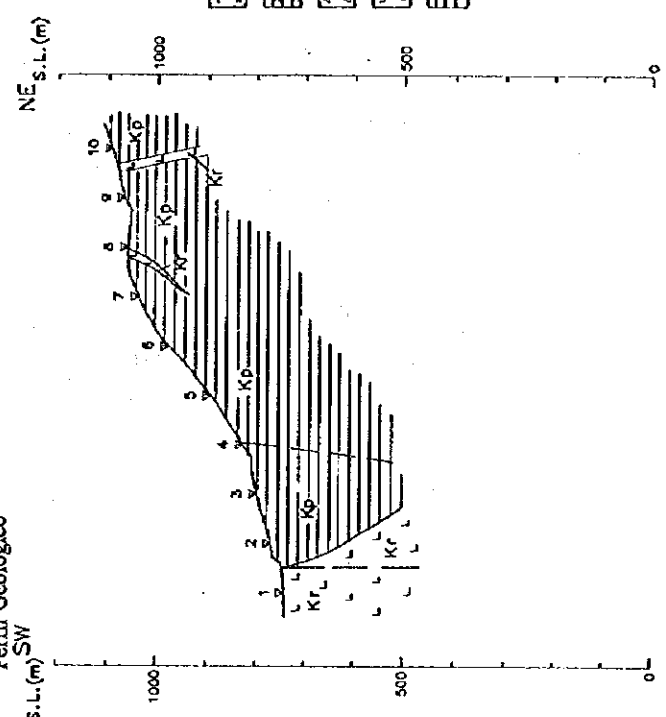
0

0

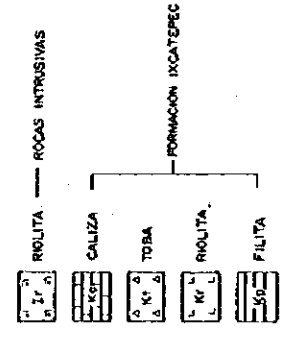
Sección de Análisis de Estructura de Uno dimencione



Perfil Geológico



EXPLICACION



Seudosección de Resistividad Apparente

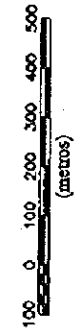
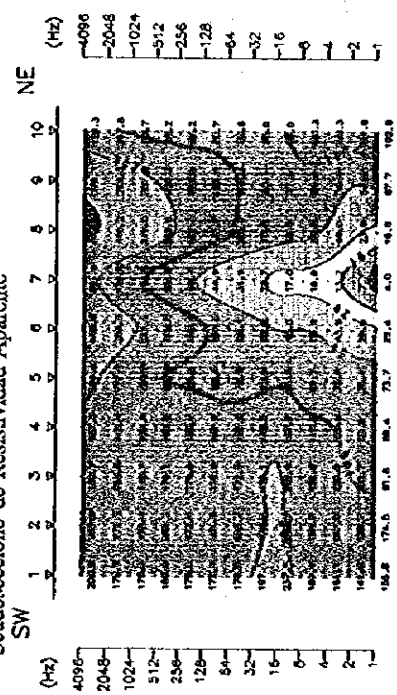


Fig.II-4-17 SECCION DE ESTRUCTURA RESISTIVIDAD (LINEA B)

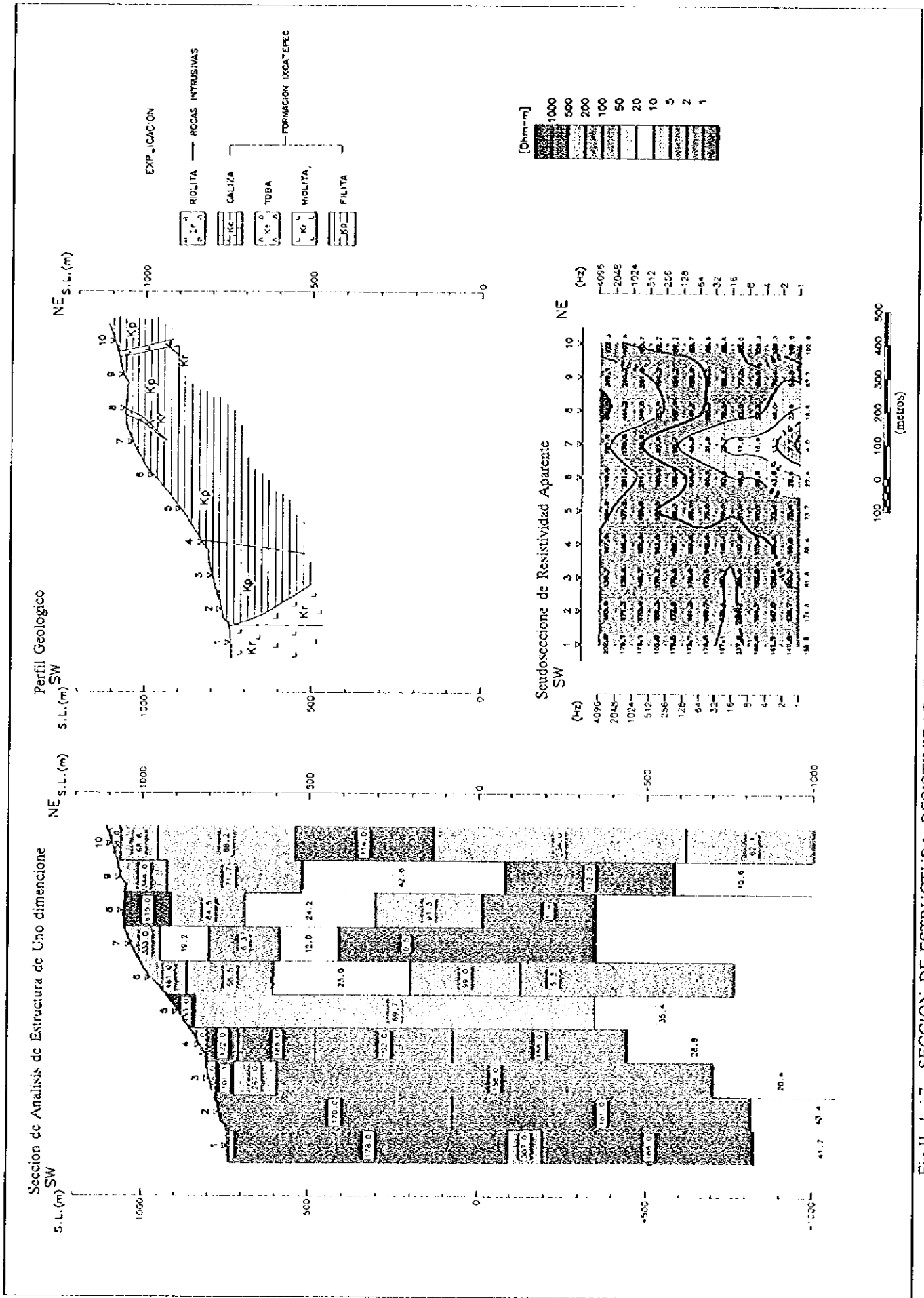


Fig.II-4-17 SECCION DE ESTRUCTURA RESISTIVIDAD (LINEA B)

0

0

0

Sección de Análisis de Estructura de Uno dimencione

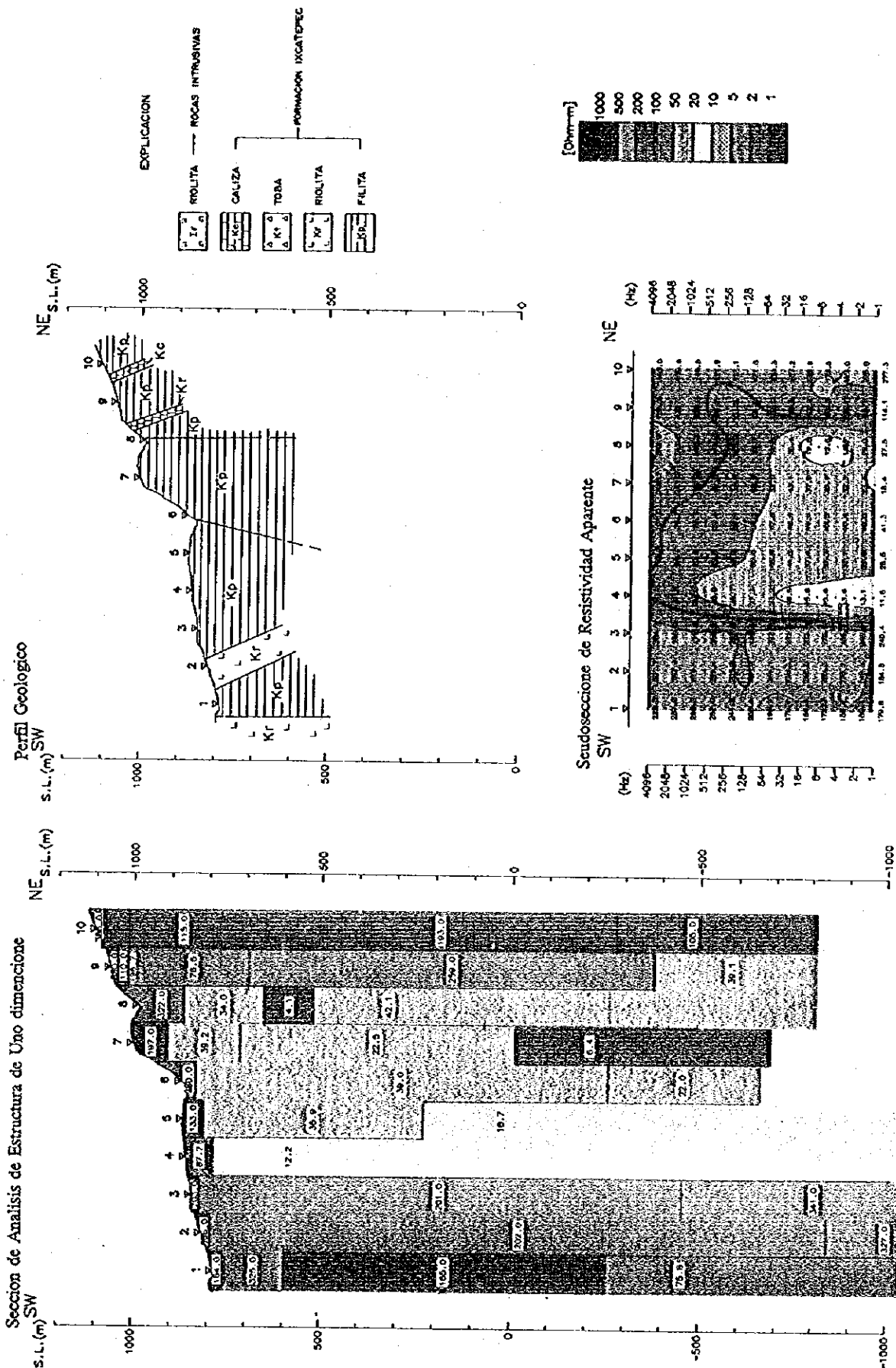


Fig.II-4-18 SECCION DE ESTRUCTURA RESISTIVIDAD (LINEA C)



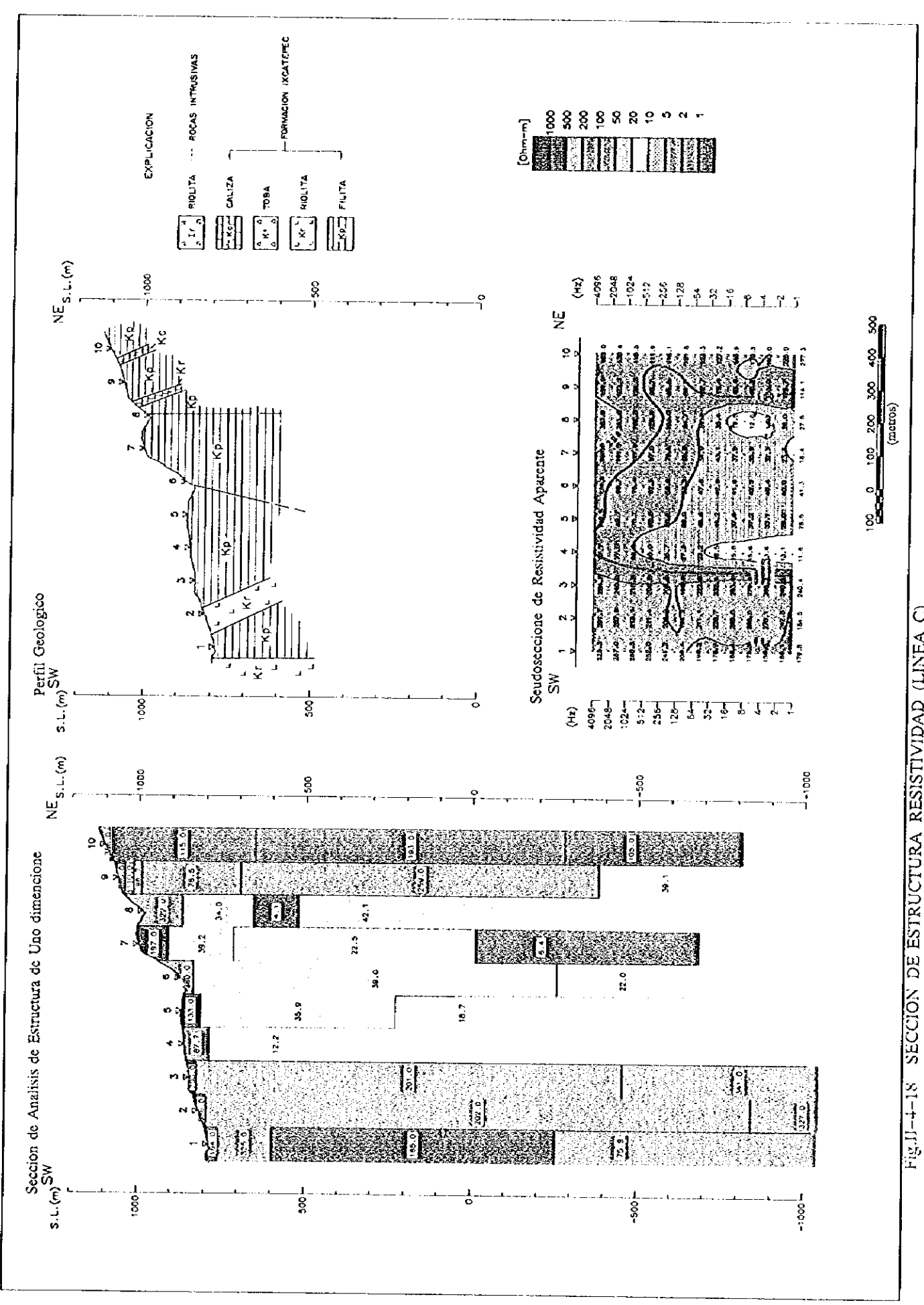


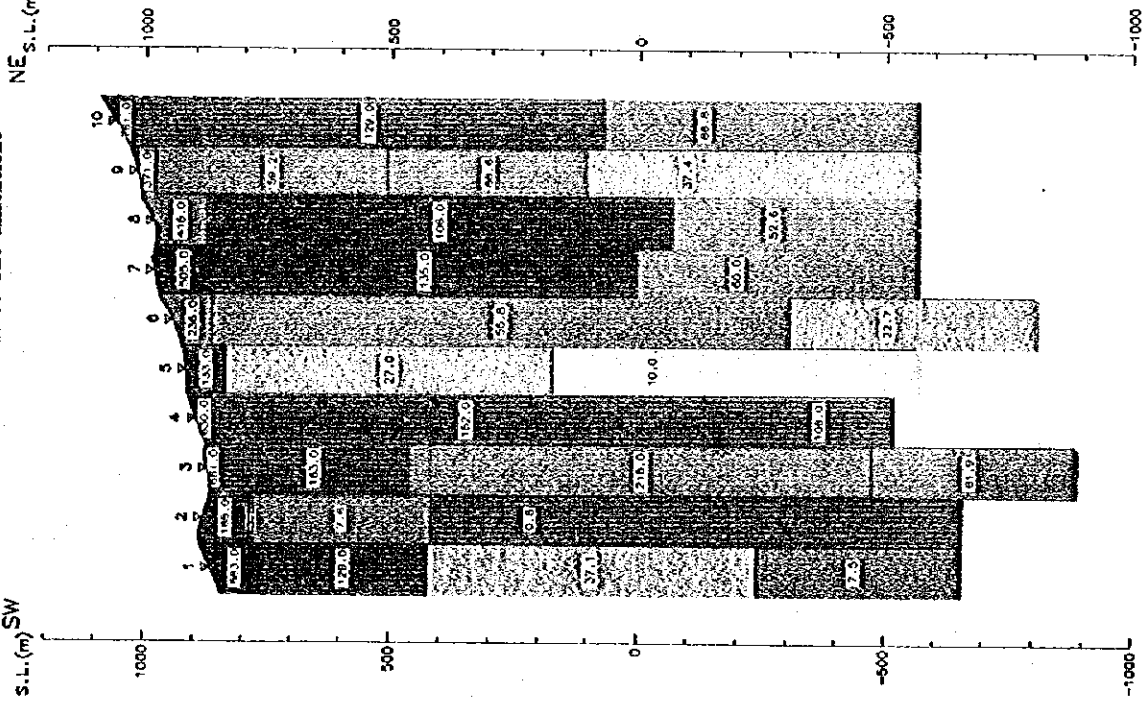
Fig. J-4-18 SECCION DE ESTRUCTURA RESISTIVIDAD (LINEA C)

0

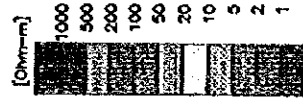
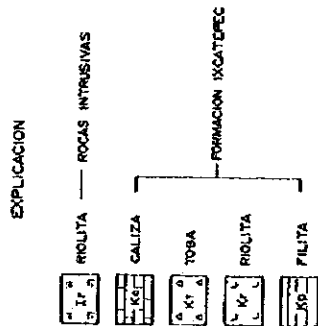
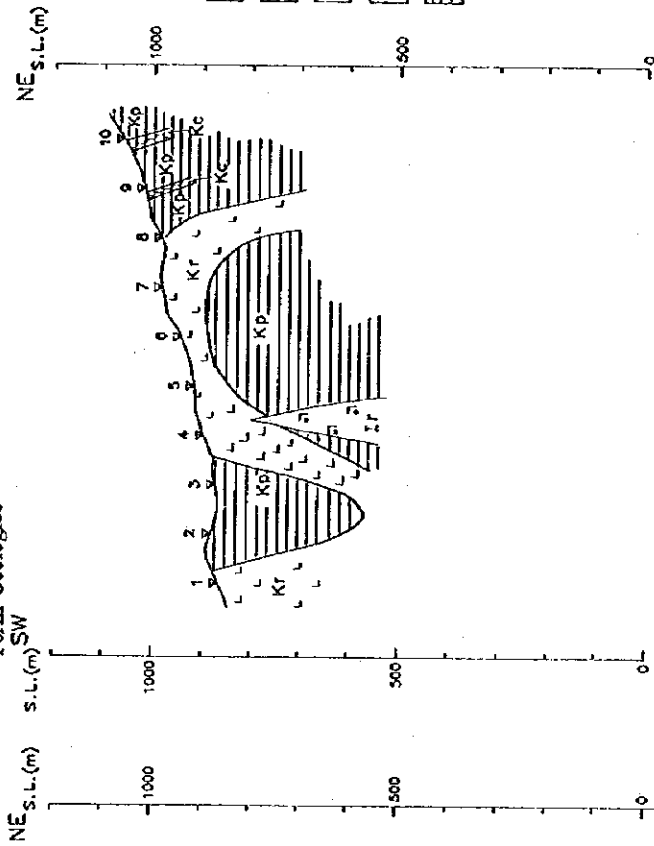
0

0

Sección de Análisis de Estructura de Uno dimensio



Perfil Geológico



Seccoseccion de Resistividad Aparente

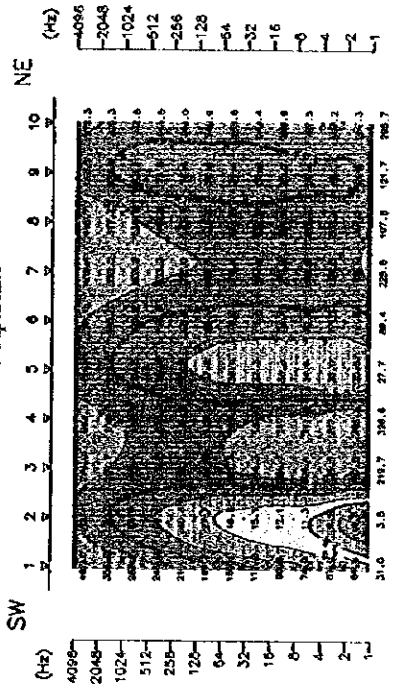
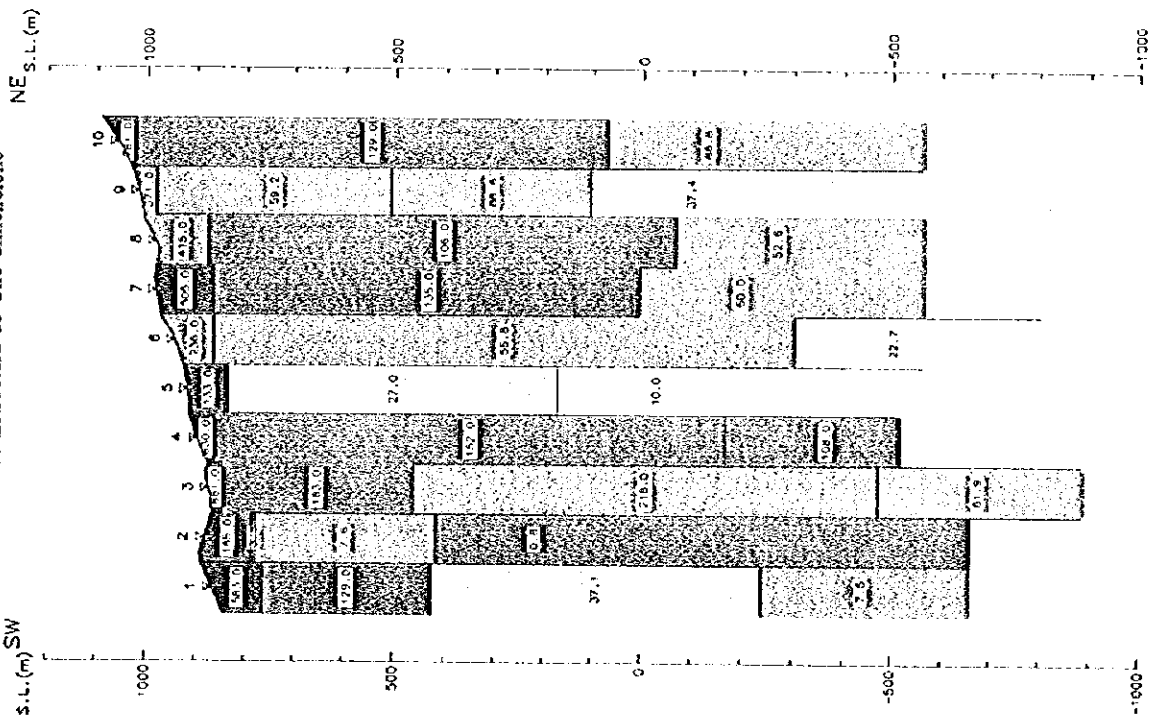
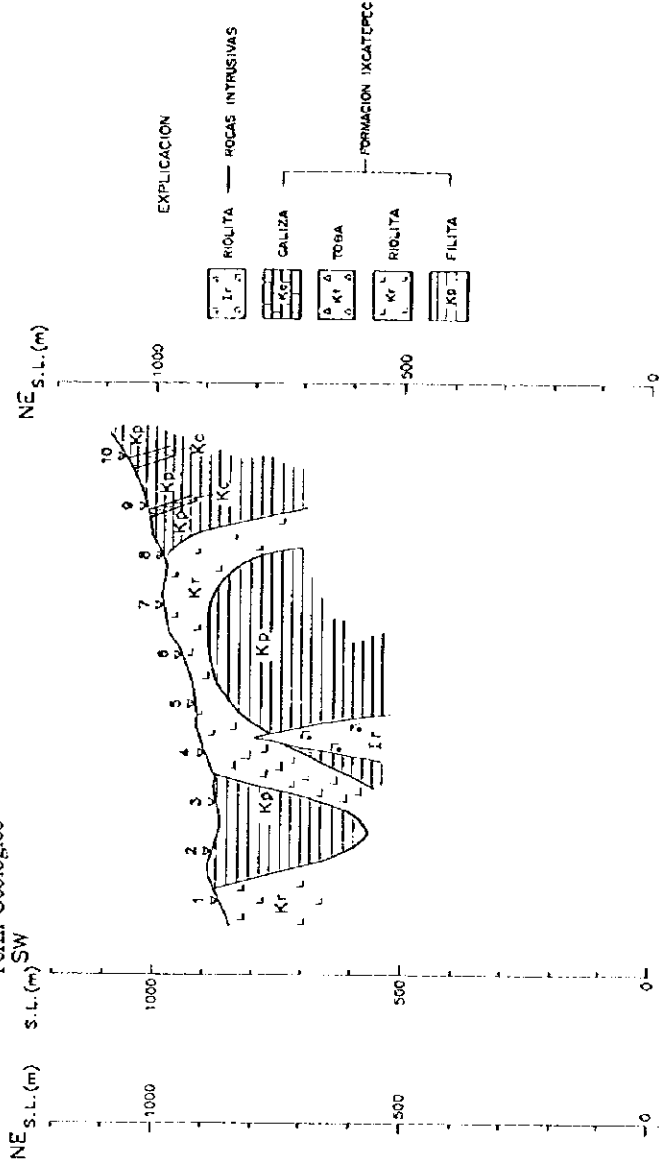


Fig.II-4-19 SECCION DE ESTRUCTURA RESISTIVIDAD (LINEA D)

Seccion de Analisis de Estructura de Uno dimension



Perfil Geologico



Seudoseccion de Resistividad Aparente

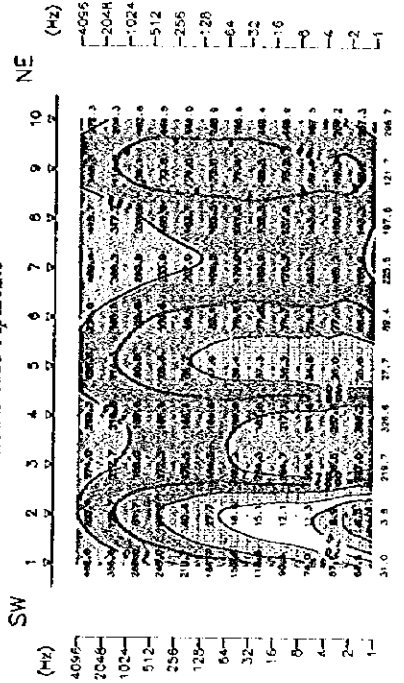


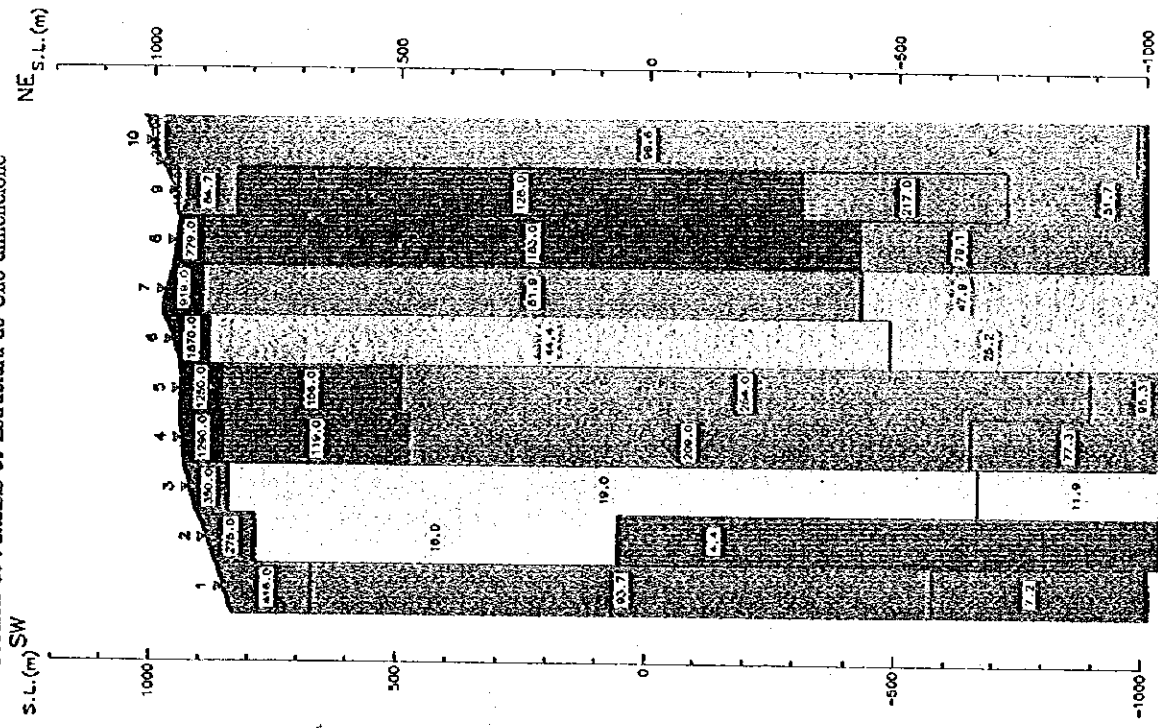
Fig.11-4-19 SECCION DE ESTRUCTURA RESISTIVIDAD (LINEA D)

0

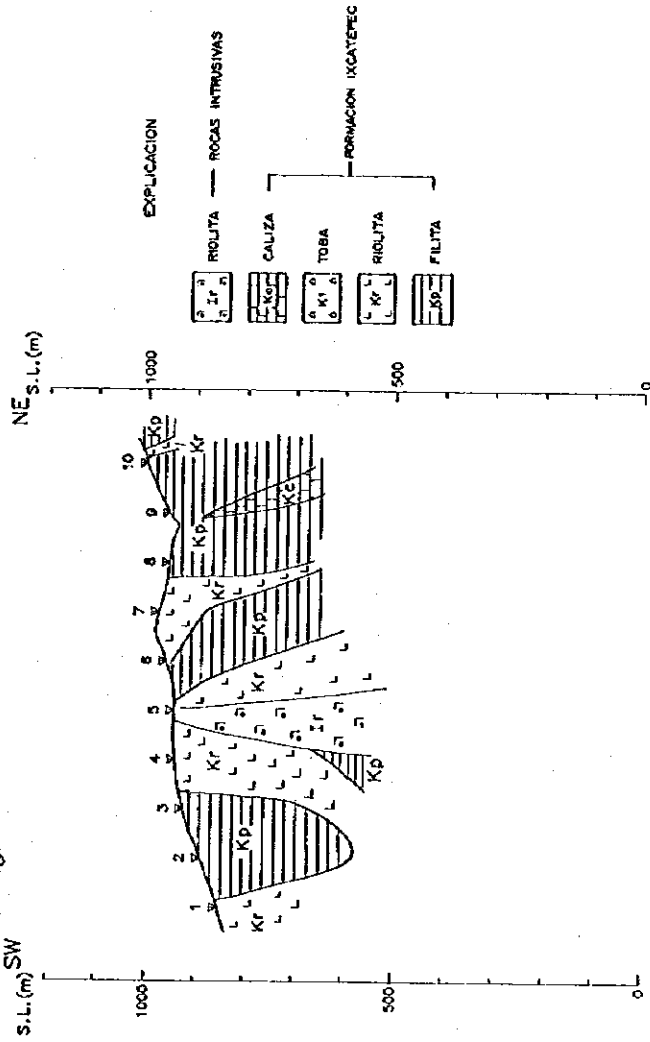
0

0

Seccion de Analisis de Estructura de Uno dimension



Perfil Geologico



Seudoseccion de Resistividad Aparente

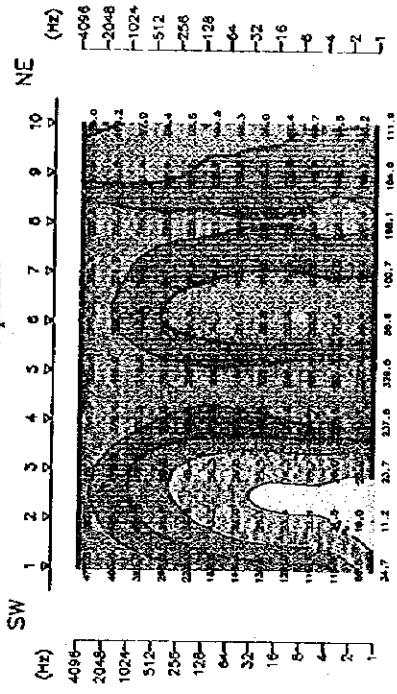


Fig.II-4-20 SECCION DE ESTRUCTURA RESISTIVIDAD (LINEA E)

Seccion de Analisis de Estructura de Uno dimension

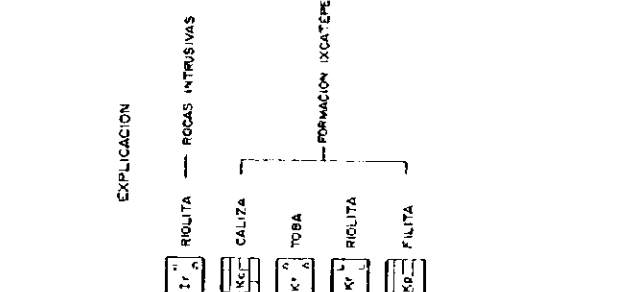
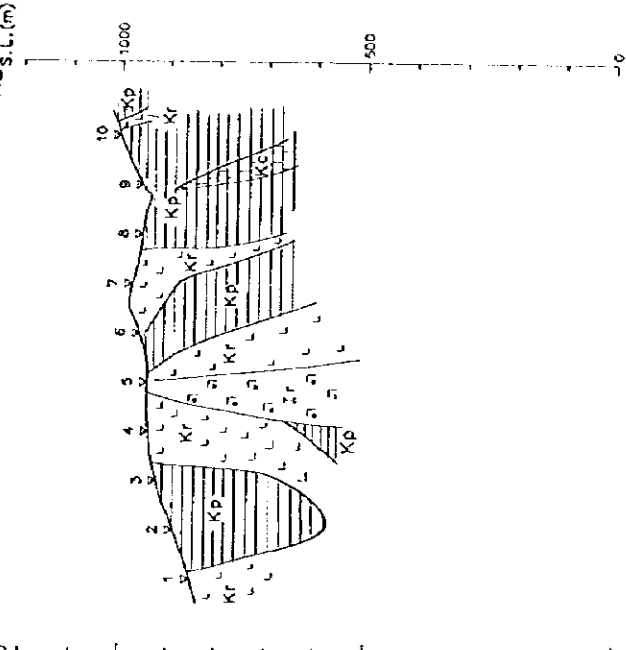
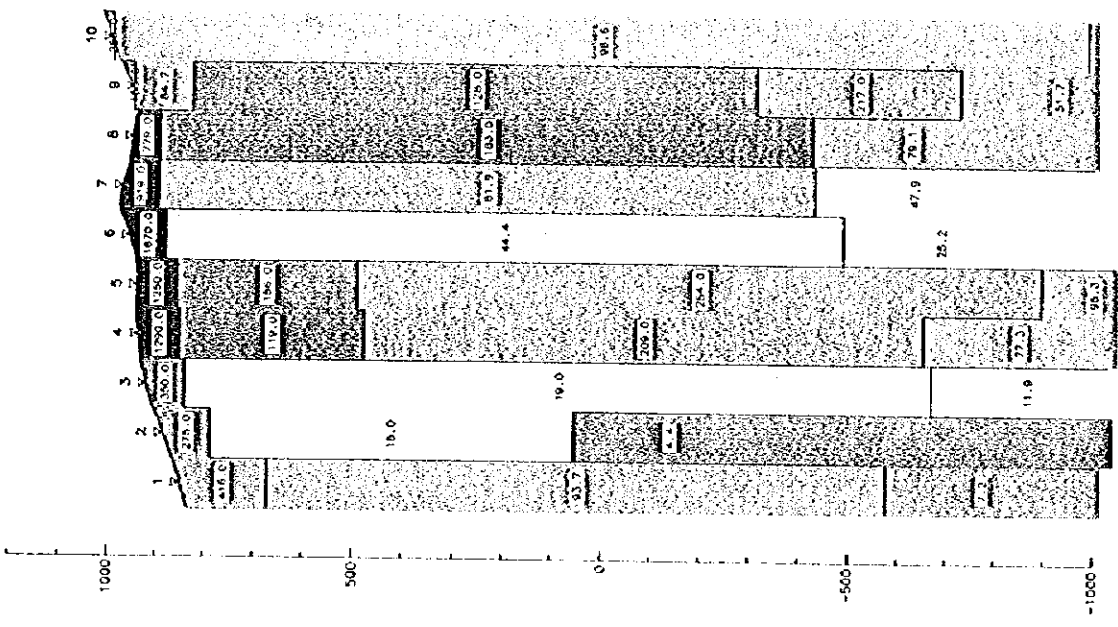
S.L.L.(m) SW

NE S.L.L.(m)

Perfil Geologico SW

NE S.L.L.(m)

EXPLICACION



Seudoseccion de Resistividad Aparente

SW

NE

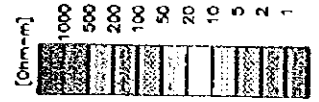
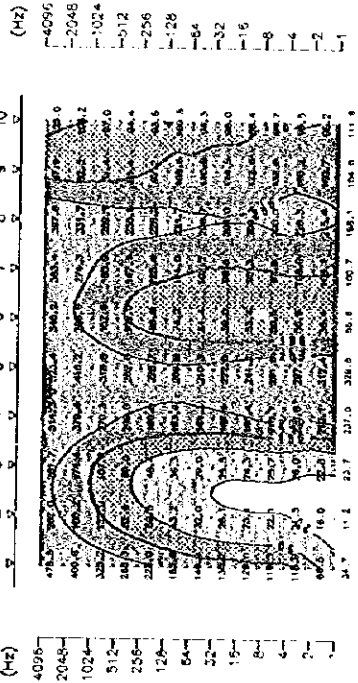


Fig.II-4-20 SECCION DE ESTRUCTURA RESISTIVIDAD (LINEA E)

0

0

0





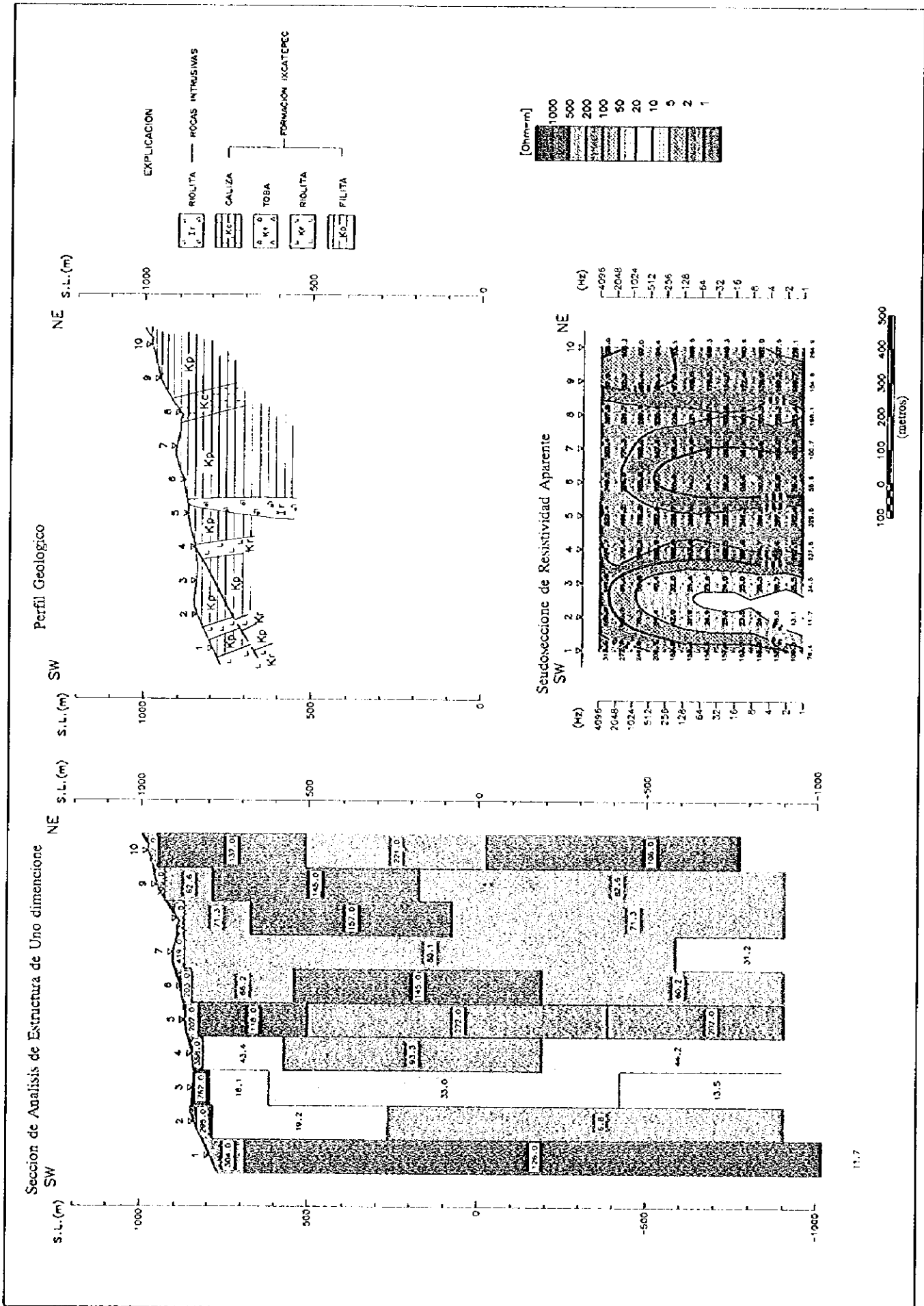


Fig.II-4-21 SECCION DE ESTRUCTURA RESISTIVIDAD (LINEA F)

0

0

0

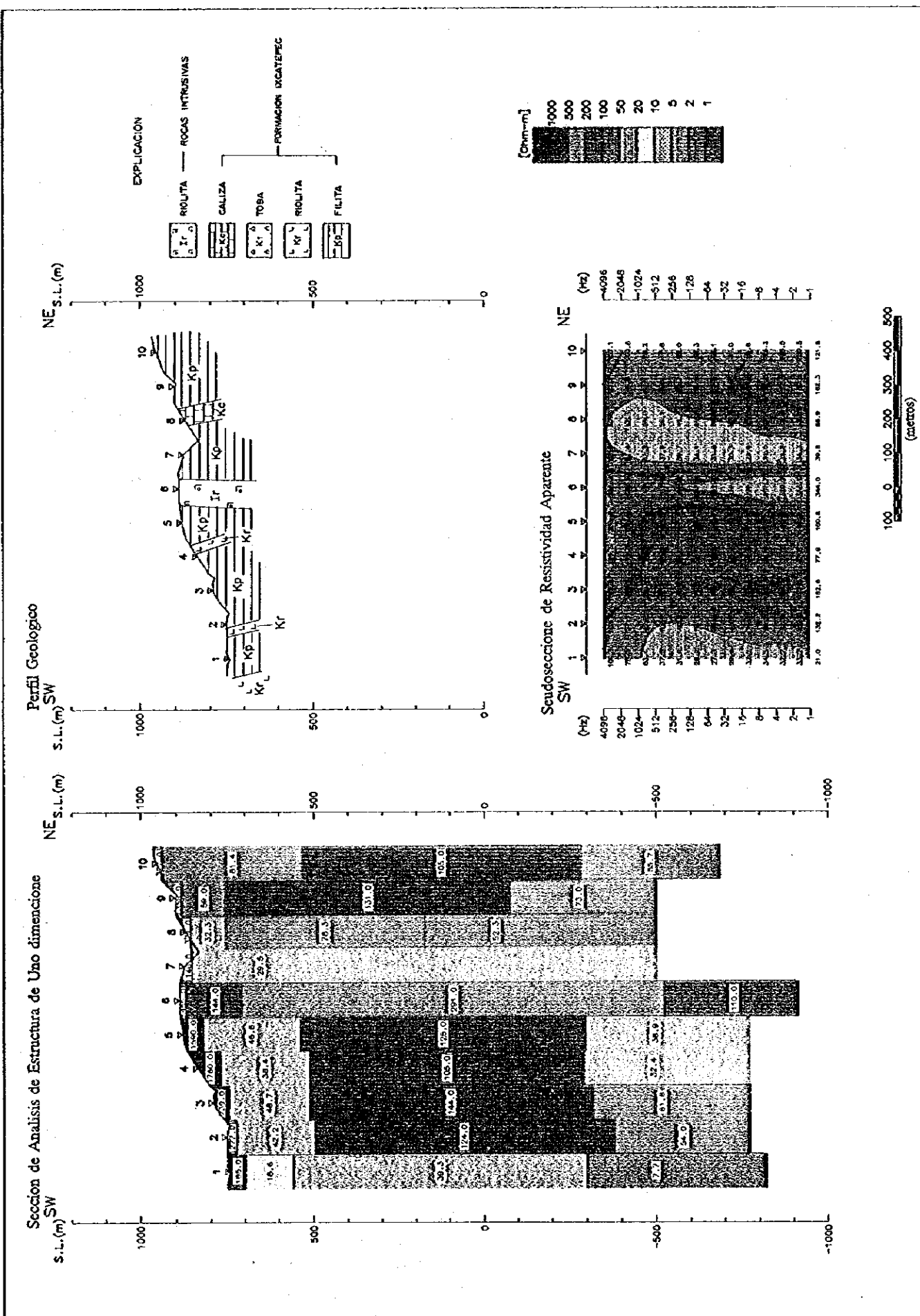


Fig.II-4-22 SECCION DE ESTRUCTURA RESISTIVIDAD (LINEA G)



0

0

0

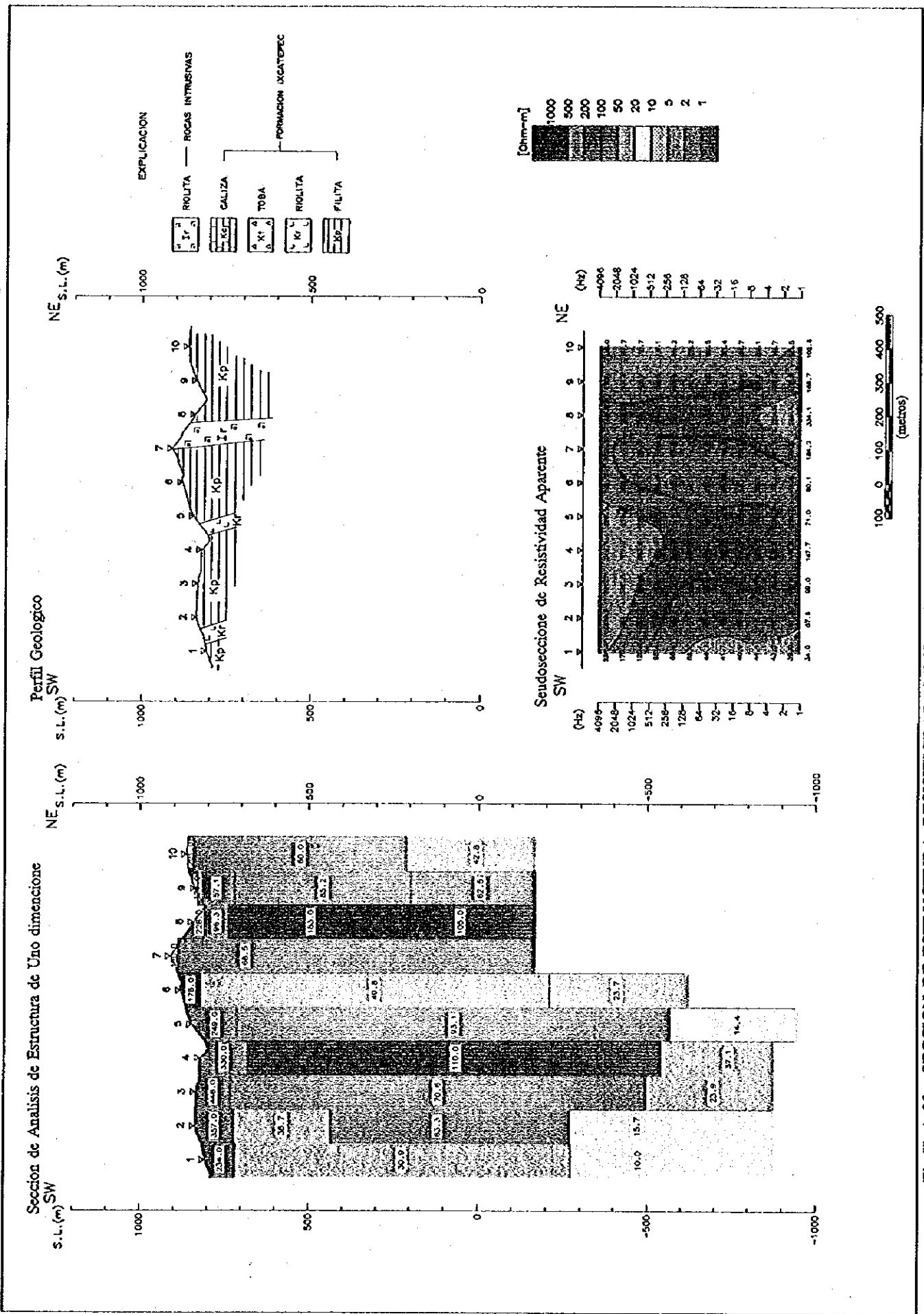


Fig.II-4-23 SECCION DE ESTRUCTURA RESISTIVIDAD (LINEA H)

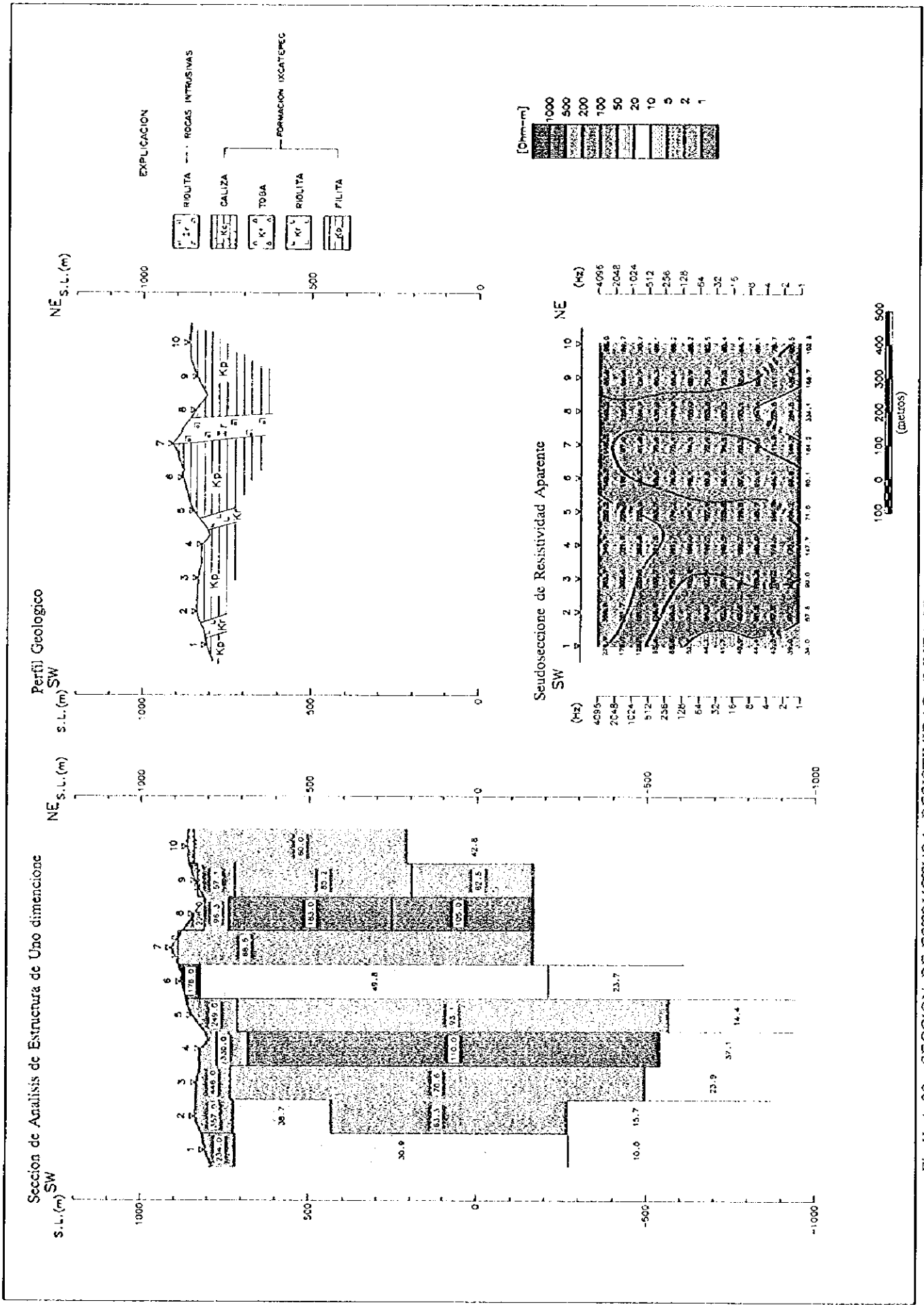


Fig.II-4-23 SECCION DE ESTRUCTURA RESISTIVIDAD (LINEA H)

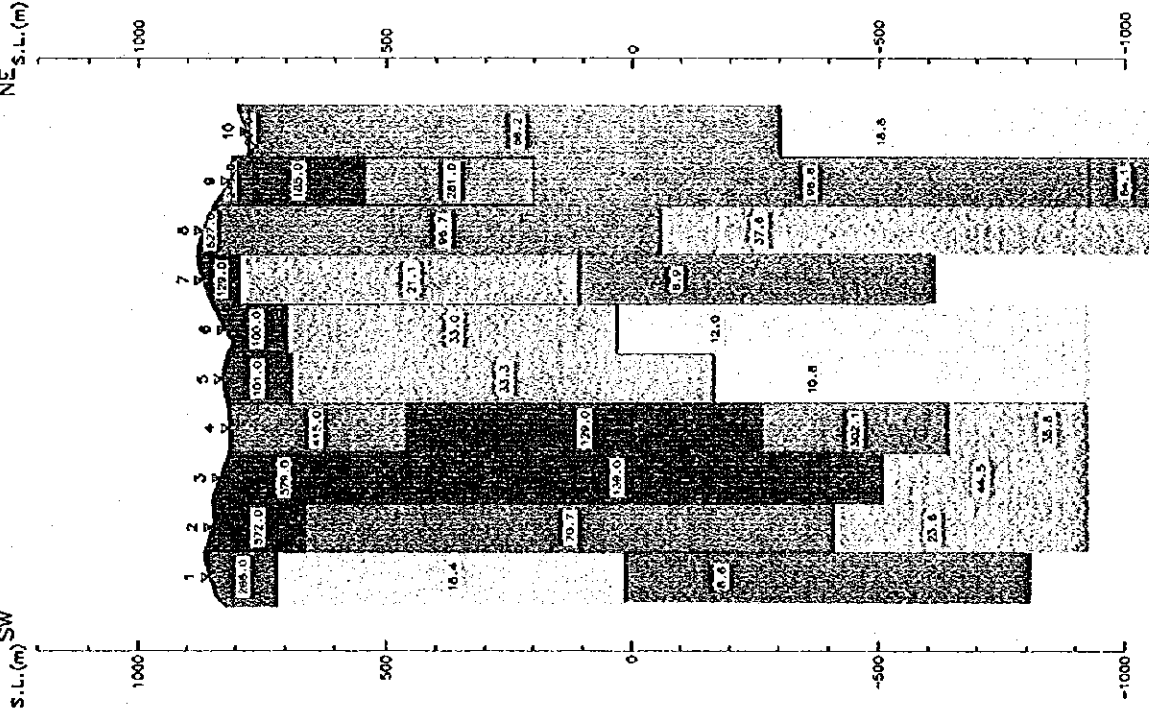


0

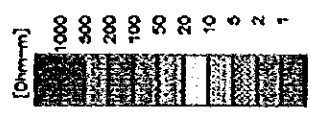
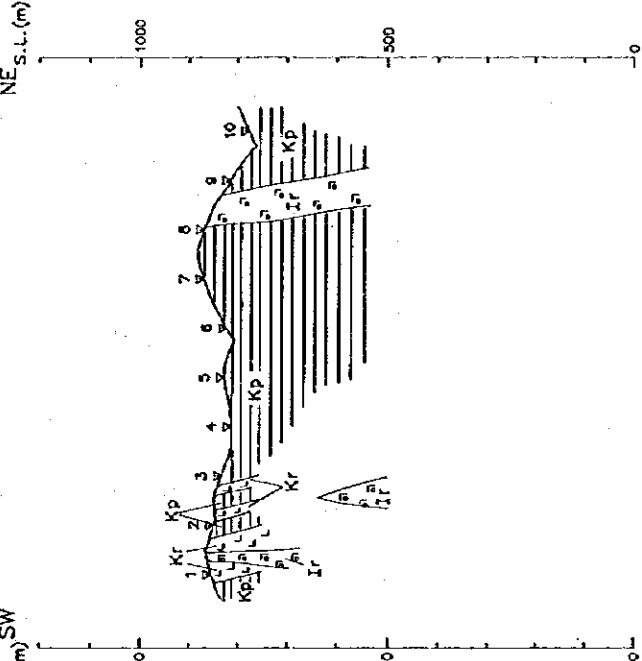
0

0

Seccion de Analisis de Estructura de Uno dimensione



Perfil Geologico



Seudo seccion de Resistividad Aparente

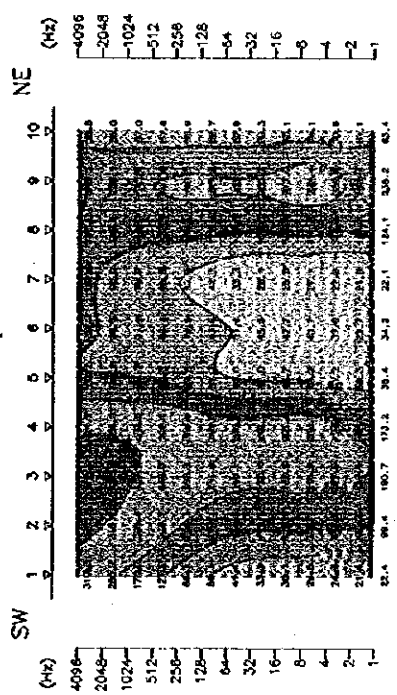
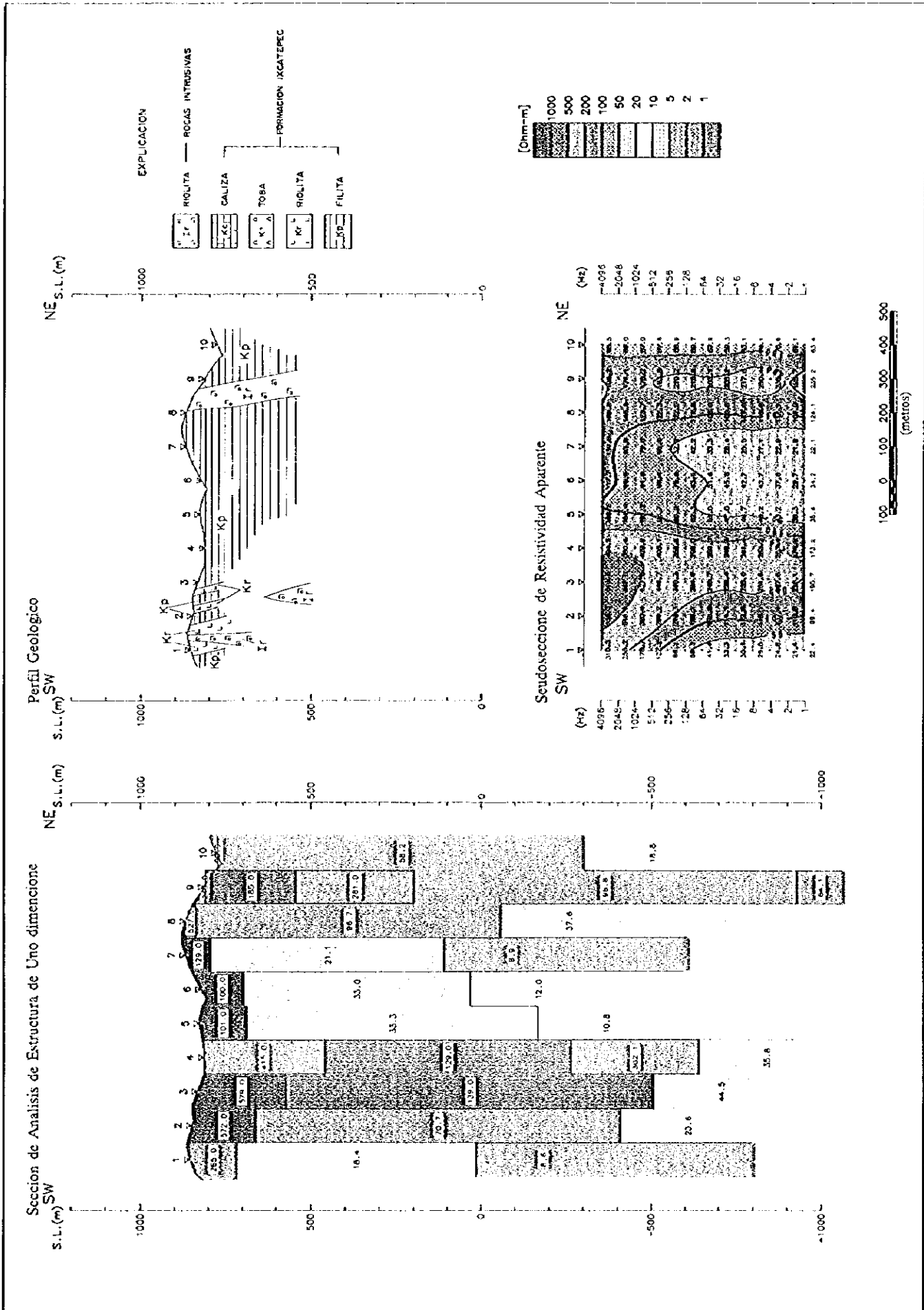


Fig.II-4-24 SECCION DE ESTRUCTURA RESISTIVIDAD (LINEA I)



0

0

0

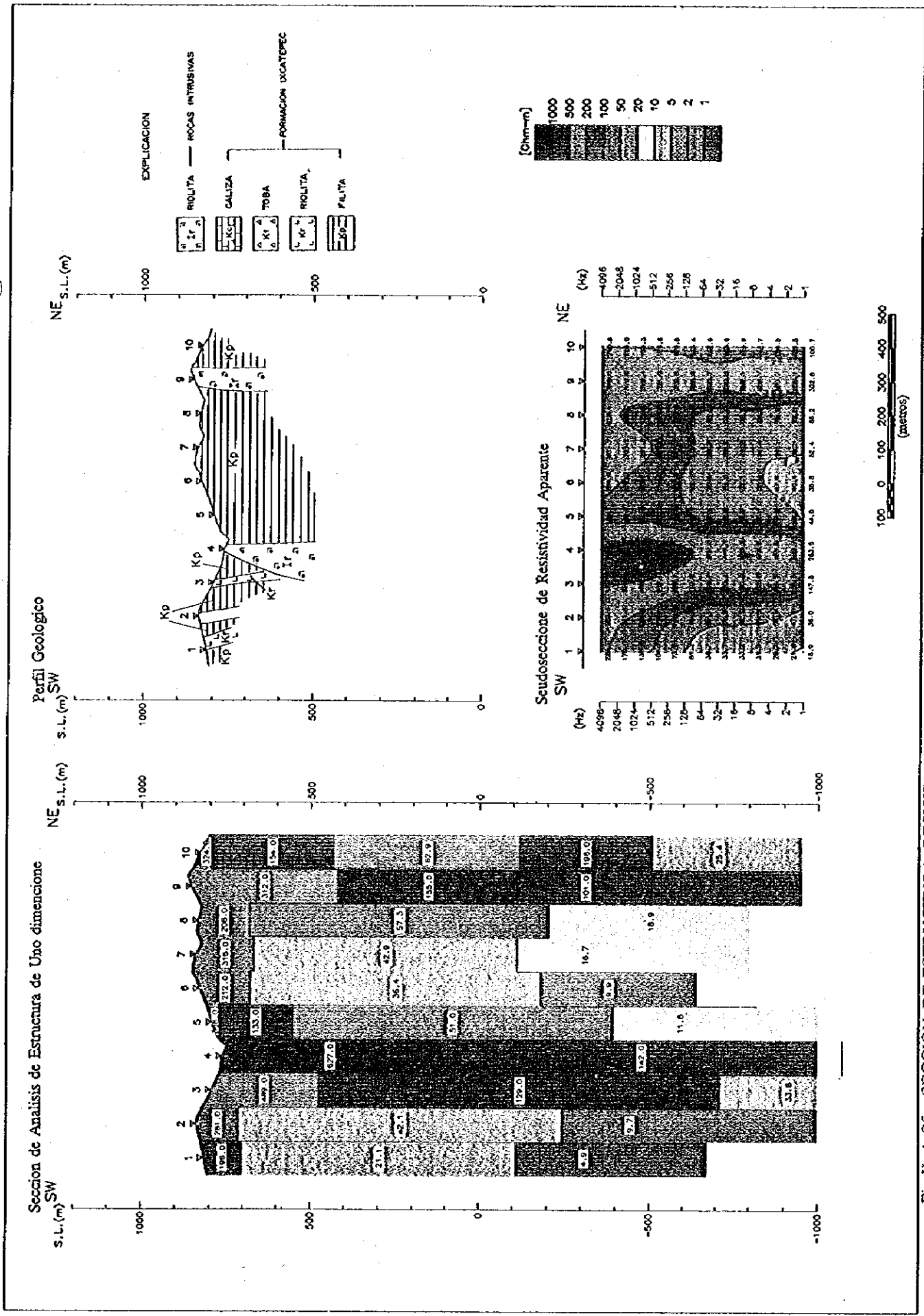
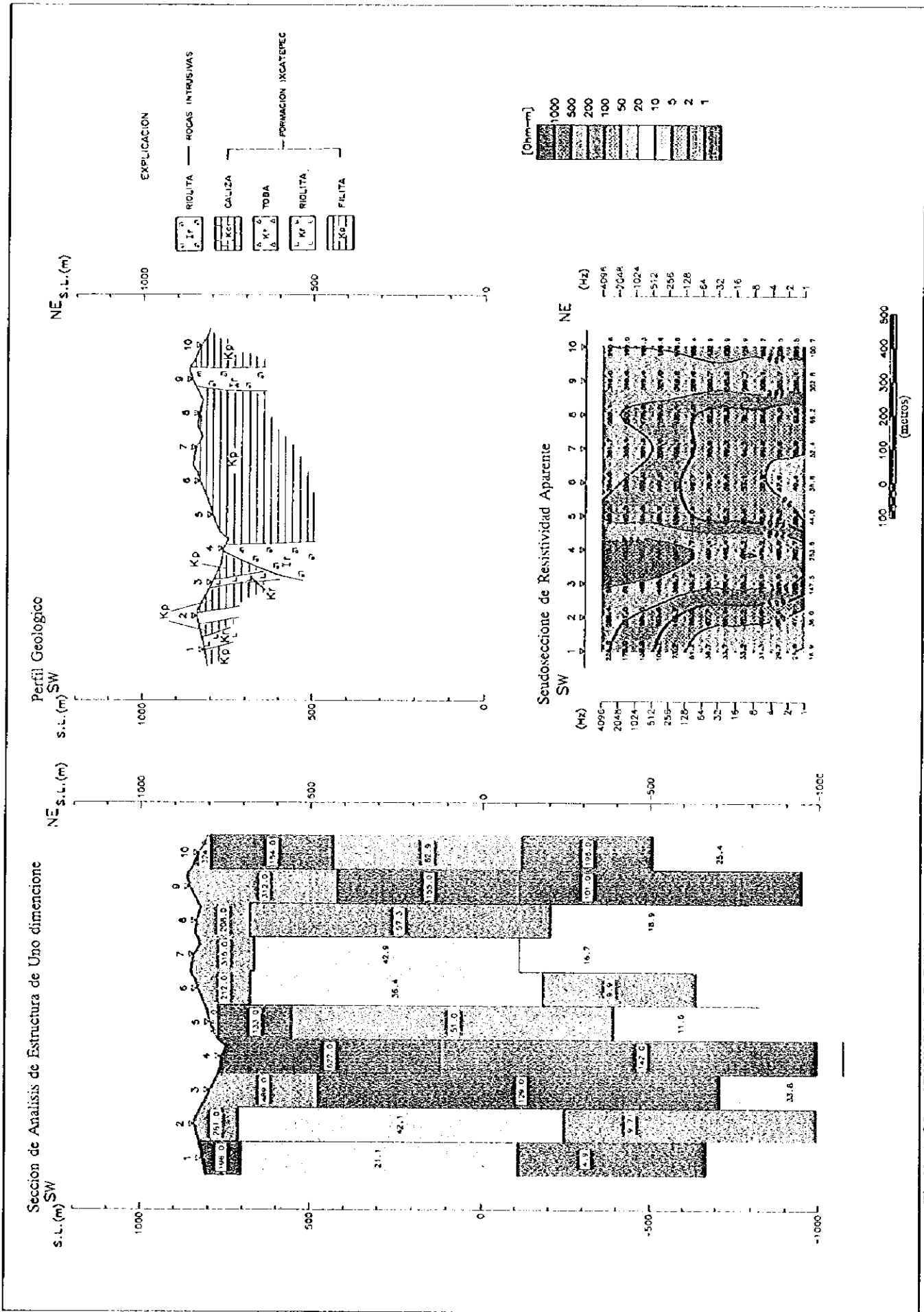


Fig.II-4-25 SECCION DE ESTRUCTURA RESISTIVIDAD (LINEA J)

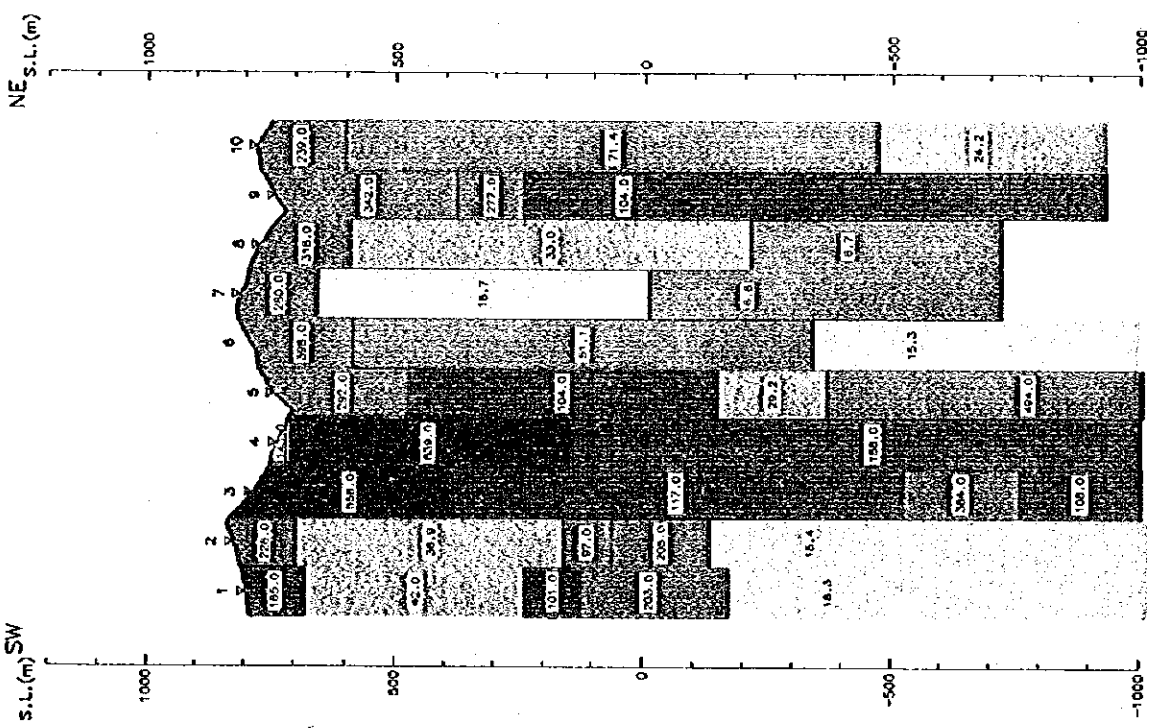


0

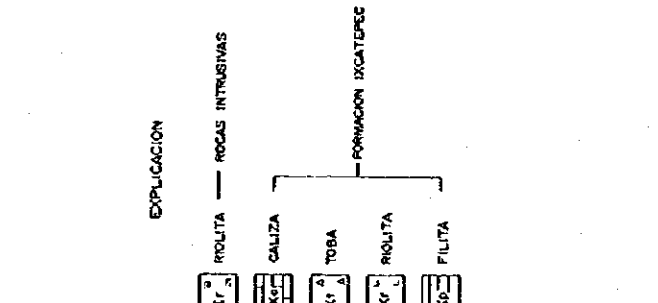
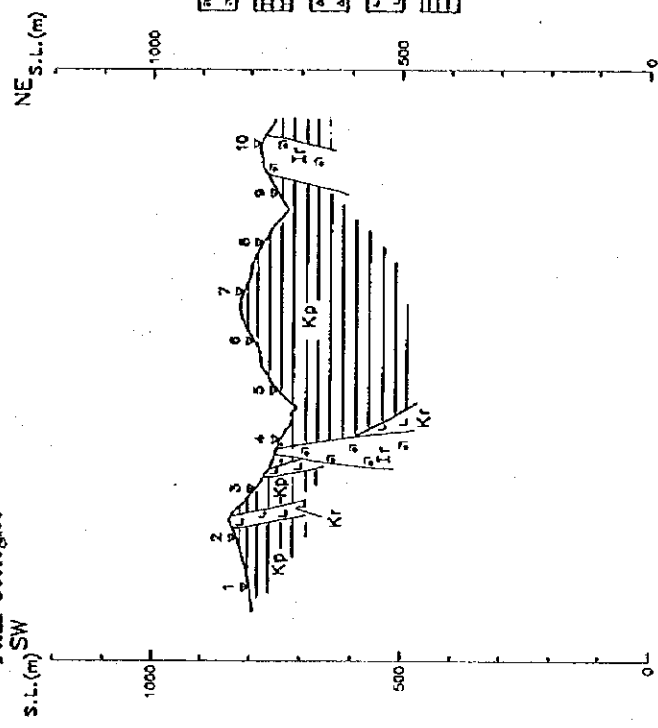
0

0

Sección de Análisis de Estructura de Uno dimensión



Perfil Geológico



Seudosección de Resistividad Apparente

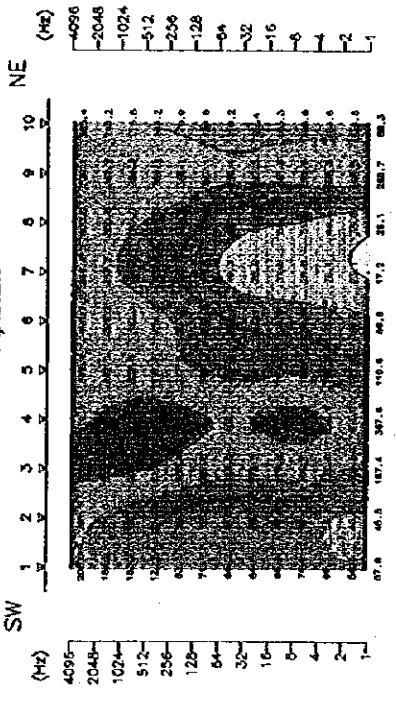


Fig.II-4-26 SECCION DE ESTRUCTURA RESISTIVIDAD (LINEA K)